COMMITTENTE:



PROGETTAZIONE:



DIRETTRICE FERROVIARIA MESSINA - CATANIA - PALERMO NUOVO COLLEGAMENTO PALERMO - CATANIA

| _ | | | | |
|--------------|-------|----------|---------------|-------|
| <i>,</i> | | ACIDI | | CILIT |
| | IIVFE | 43 I R I | ITTURF | -3111 |

PROGETTO DEFINITIVO

TRATTA LERCARA DIR. - CALTANISSETTA XIRBI (LOTTO 3)

Opere di sostegno viabilità - Lotto 3b

NV65: Paratie di pali MU88F

Relazione di calcolo

| SCALA: |
|--------|
| - |

COMMESSA LOTTO FASE ENTE TIPO DOC. OPERA/DISCIPLINA PROGR. REV.

RS3T 30 D 78 CL MU88F0 002 A

| Rev. | Descrizione | Redatto | Data | Verificato | Data | Approvato | Data | Autorizzato Data |
|------|---------------------|---------------------------------|----------|---------------|----------|-----------|----------|---|
| Α | Emissione Esecutiva | ATI Sintagma Rocksoil - Edin | Mar-2021 | A.Di Costanzo | Mar-2021 | A.Barreca | Mar-2021 | D.Tiberti Mar-2021 |
| | | | | | | | | |
| | | | | | | | | A ME |
| | | | | | | | | Proud a |
| | | | | | | | | Original Policy of the Second |
| | | | | | | | | Ordine de |

File: RS3T.3.0.D.78.CL.MU.88.F.0.002.A n. Elab.: 78_509_24_2



NV65: OPERE DI PROTEZIONE AL SOLIFLUSSO MU88F - RELAZIONE DI CALCOLO
 COMMESSA
 LOTTO
 CODIFICA
 DOCUMENTO
 REV.
 FOGLIO

 RS3T
 30 D 78
 CL
 MU 88 F 0 002
 A
 1 di 39

INDICE

| 1. | PREMES | SA | 3 |
|-----|---------|--|----|
| | 1.1 | DESCRIZIONE DELL'OPERA | 3 |
| 2. | NORMA | TIVA DI RIFERIMENTO | 5 |
| 3. | DOCUM | ENTI DI RIFERIMENTO | 5 |
| 4. | UNITÀ E | OI MISURA E SIMBOLOGIA | 6 |
| 5. | CARATT | ERISTICHE DEI MATERIALI | 7 |
| | 5.1 | CALCESTRUZZO | 7 |
| | 5.2 | ACCIAIO IN BARRE AD ADERENZA MIGLIORATA B450C | 8 |
| 6. | INQUAD | RAMENTO GEOTECNICO | 10 |
| 7. | VALUTA | AZIONE DELL'AZIONE SISMICA | 11 |
| | 7.1 | VITA NOMINALE | 11 |
| | 7.2 | CLASSE D'USO | 11 |
| | 7.3 | PERIODO DI RIFERIMENTO | 11 |
| | 7.4 | PARAMETRI SISMICI | 11 |
| 8. | CRITERI | DI VERIFICA PARATIE | 15 |
| | 8.1 | VERIFICHE GEOTECNICHE SLU IN CONDIZIONI STATICHE | 15 |
| | 8.2 | VERIFICHE GEOTECNICHE SLV (CONDIZIONI SISMICHE) | 15 |
| | 8 | 2.1 Stabilità globale | 16 |
| 9. | ANALIS | DEI CARICHI | 17 |
| 10. | COMBIN | AZIONI DI CARICO | 18 |
| 11. | PROGET | TO E VERIFICA DELLA PARATIA | 20 |
| | 11.1 | DATI DI INPUT | 20 |
| | 11.2 | FASI DI CALCOLO | 22 |
| | 11.3 | RISULTATI DELLE ANALISI | 25 |
| | 11.4 | VERIFICHE GEOTECNICHE | 30 |
| | 1 | 1.4.1 Verifiche SLE | 30 |



NV65: OPERE DI PROTEZIONE AL SOLIFLUSSO MU88F - RELAZIONE DI CALCOLO
 COMMESSA
 LOTTO
 CODIFICA
 DOCUMENTO
 REV.
 FOGLIO

 RS3T
 30 D 78
 CL
 MU 88 F 0 002
 A
 2 di 39

| 11 | .4.2 Verifica di stabilità globale | .31 |
|--------|---|-----|
| o Veri | FICHE STRUTTURALI | .32 |
| 11.4.3 | VERIFICA A TAGLIO – CONDIZIONI STATICHE | .33 |
| 11.4.4 | VERIFICA A TAGLIO – CONDIZIONI SISMICHE | 33 |
| 11.4.5 | VERIFICHE A FLESSIONE - CONDIZIONI STATICHE | .34 |
| 11.4.6 | Verifiche a flessione – condizioni sismiche | 37 |



1. PREMESSA

Il presente documento riguarda il dimensionamento delle opere di protezione al soliflusso MU88F dal km 0+720.00 al km 0+850.00 della viabilità NV65 nell'ambito del Progetto Definitivo della Direttrice Ferroviaria Messina – Catania – Palermo - Nuovo Collegamento Palermo – Catania, Tratta Lercara Dir. – Caltanissetta Xirbi (Lotto 3) dalla progressiva chilometrica 18+636 alla 46+703 (lotto 3b).

1.1 Descrizione dell'opera

L'opera si estende per uno sviluppo complessivo di 138 m circa ed è costituita da una paratia di pali appartenete al "tipo 2": presenta un diametro di 600 mm e interasse 0.80 m, con lunghezza pari a 10 m che, sommato allo spessore di 1.20 di cordolo, si ottiene una lunghezza complessiva di 11.20 m. L'altezza di scavo massima è pari a 4.50 m.

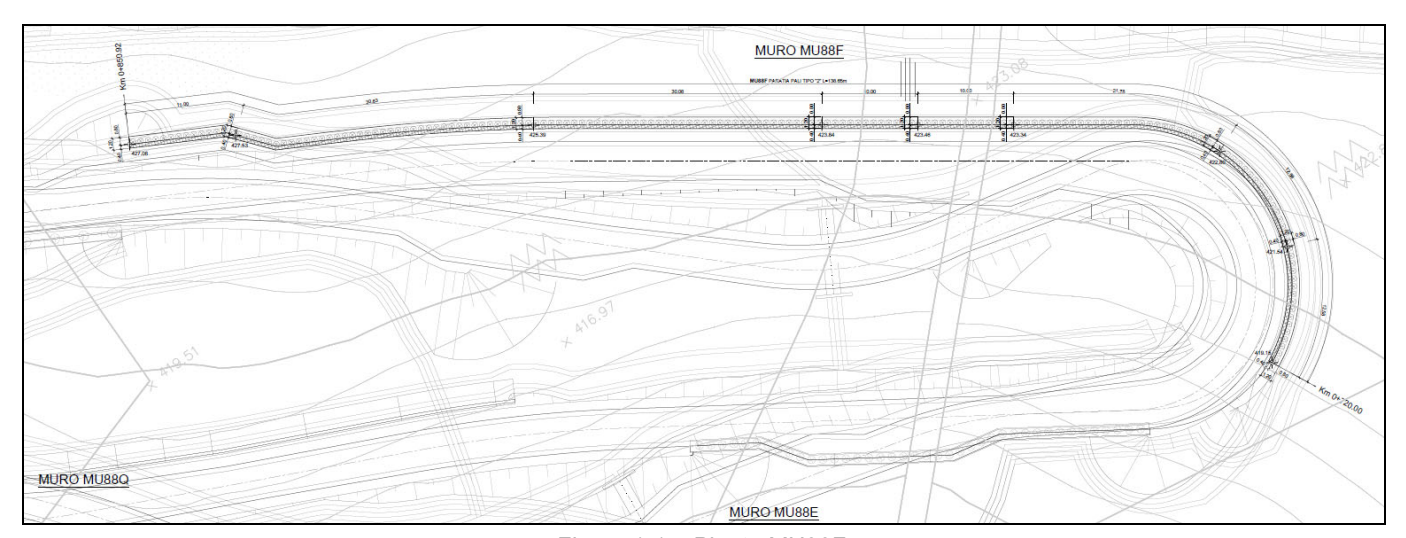


Figura 1-1 – Pianta MU88F.

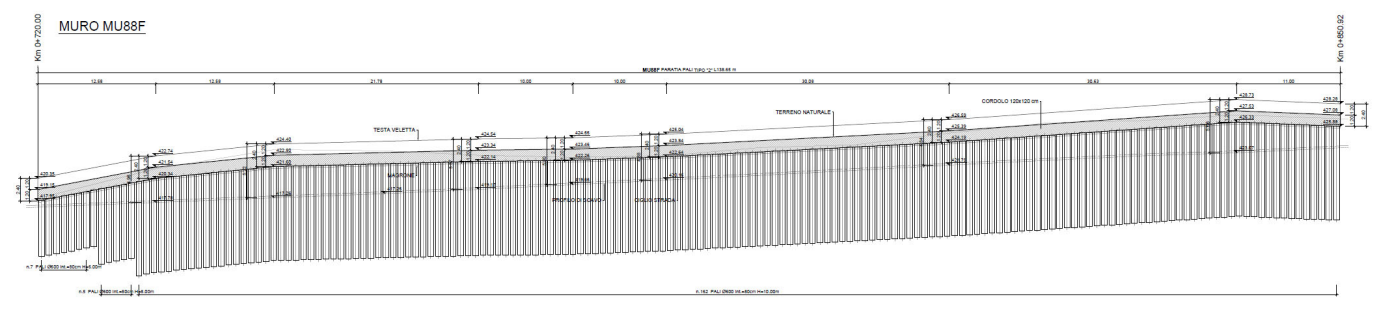


Figura 1-2 - Profilo MU88F.



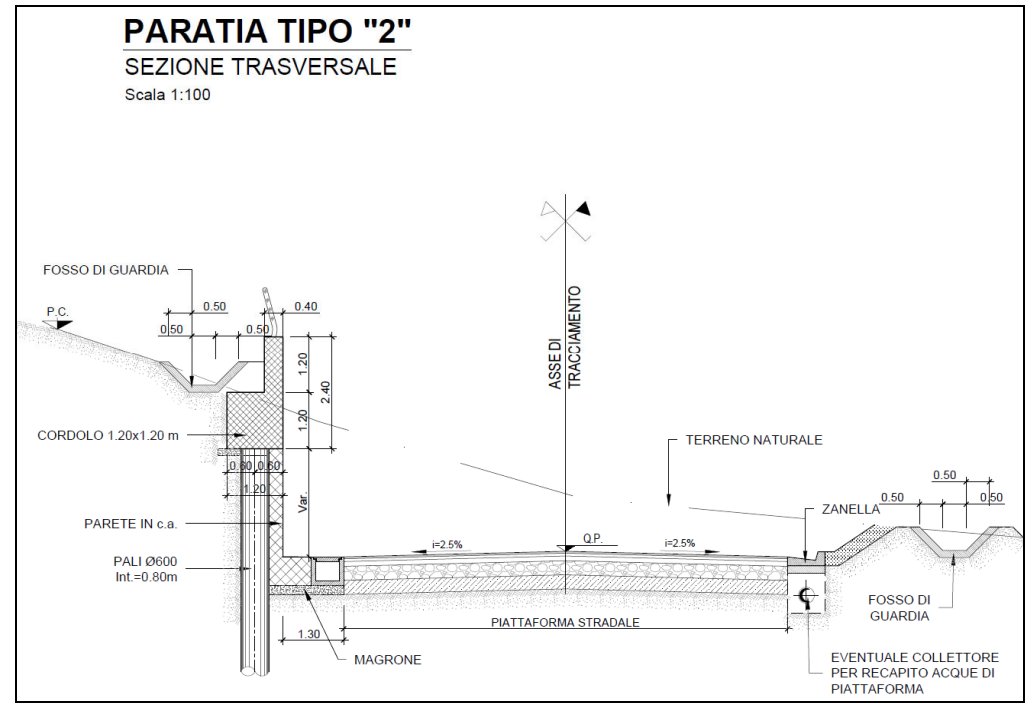


Figura 1-3 – Sezione trasversale paratia tipo 2.



NV65: OPERE DI PROTEZIONE AL SOLIFLUSSO MU88F - RELAZIONE DI CALCOLO
 COMMESSA
 LOTTO
 CODIFICA
 DOCUMENTO
 REV.
 FOGLIO

 RS3T
 30 D 78
 CL
 MU 88 F 0 002
 A
 5 di 39

2. NORMATIVA DI RIFERIMENTO

L'interpretazione dei risultati e la redazione della presente relazione sono stati effettuati nel rispetto della Normativa in vigore.

I principali riferimenti normativi sono i seguenti:

Norme Tecniche per le Costruzioni - D.M. 17-01-18 (NTC-2018);

Circolare n. 7 del 21 gennaio 2019 - Istruzioni per l'Applicazione dell'aggiornamento delle Norme Tecniche per le Costruzioni di cui al Decreto Ministeriale 17 gennaio 2018;

Regolamento (UE) N.1299/2014 del 18 novembre 2014 della Commissione Europea. Relativo alle specifiche tecniche di interoperabilità per il sottosistema "infrastruttura" del sistema ferroviario dell'Unione Europea.

Eurocodici EN 1991-2: 2003/AC:2010 - Eurocodice 1 - Parte 2

RFI DTC SI MA IFS 001 C del 21-12-18 - Manuale di Progettazione delle Opere Civili

3. DOCUMENTI DI RIFERIMENTO

Vengono presi a riferimento i seguenti elaborati grafici progettuali di pertinenza:

RS3T.3.0.D.78.PZ.MU.88.D.0.001: "NV65 Opere di protezione al soliflusso MU88D - Pianta, prospetto e sezioni"

RS3T.3.0.D.78.GE.GE.00.0.0.002: "Relazione geotecnica generale - Lotto 3B"

RS3T.3.0.D.78.F6.GE.00.0.0.049: "Profilo geotecnico viabilità NV65"



DIRETTRICE FERROVIARIA MESSINA – CATANIA – PALERMO NUOVO COLLEGAMENTO PALERMO – CATANIA TRATTA LERCARA DIR. – CALTANISETTA XIRBI (LOTTO 3)

OPERE DI SOSTEGNO VIABILITÀ – LOTTO 3b

NV65: OPERE DI PROTEZIONE AL SOLIFLUSSO MU88F - RELAZIONE DI CALCOLO COMMESSA LOTTO

RS3T 30 D 78

CODIFICA CL DOCUMENTO MU 88 F 0 002

REV. FOGLIO

6 di 39

Α

4. UNITÀ DI MISURA E SIMBOLOGIA

Si utilizza il Sistema Internazionale (SI):

unità di misura principali

N (Newton) unità di forza

m (metro) unità di lunghezza

kg (kilogrammo-massa) unità di massa

s (secondo) unità di tempo

unità di misura derivate kN

(kiloNewton) 103N

MN (megaNewton) 106N

kgf (kilogrammo-forza) 1 kgf = 9.81 N

cm (centimetro) 10⁻² m

mm (millimetro) 10⁻³ m

Pa (Pascal) 1 N/m²

kPa (kiloPascal) 103 N/m²

MPa (megaPascal) 106 N/m²

N/m³ (peso specifico)

g (accelerazione di gravità) ~9.81 m/s²

corrispondenze notevoli

 $1 \text{ MPa} = 1 \text{ N/mm}^2$

1 MPa ~ 10 kgf/cm²

 $1 \text{ kN/m}^3 \sim 100 \text{ kgf/m}^3$

Si utilizzano i seguenti principali simboli con le relative unità di misura normalmente adottate:

, (gamma) peso dell'unità di volume (kN/m³)

tensione normale (N/mm^2)

tensione tangenziale (N / mm²)

τ (tau)



NV65: OPERE DI PROTEZIONE AL SOLIFLUSSO MU88F - RELAZIONE DI CALCOLO
 COMMESSA
 LOTTO
 CODIFICA
 DOCUMENTO
 REV.
 FOGLIO

 RS3T
 30 D 78
 CL
 MU 88 F 0 002
 A
 7 di 39

 $_{\mathcal{E}}$ (epsilon) deformazione (m/m) -

φ (fi) angolo di resistenza (° sessagesimali)

5. CARATTERISTICHE DEI MATERIALI

Le caratteristiche dei materiali sono ricavate con riferimento alle indicazioni contenute nei capitoli 4 e 11 del D.M. 17 gennaio 2018. Nelle tabelle che seguono sono indicate le principali caratteristiche e i riferimenti dei paragrafi del D.M. citato.

5.1 Calcestruzzo

• Elemento strutturale: fondazione ed elevazione muro di sostegno

Classe di resistenza = C32/40;

 R_{ck} = resistenza cubica = 40 N/mm²;

f_{ck} = resistenza cilindrica caratteristica = 0.83 R_{ck} = 33.2 N/ mm²;

 f_{cm} = resistenza cilindrica media = f_{ck} + 8 = 41.2 N/ mm²;

 $f_{cd} = \alpha cc fck/\gamma c = 18.8 N/mm^2;$

 f_{ctm} = resistenza a trazione media = 0.30 x $f_{ck}^{2/3}$ = 3.1 N/ mm²;

 f_{cfm} = resistenza a traz. per flessione media = 1.20 x f_{ctm} = 3.72 N/ mm²;

 f_{cfk} = resistenza a traz. per flessione carati. = 0.70 x f_{cfm} = 2.60 N/ mm²;

 E_{cm} = modulo elast. tra 0 e 0.40 f_{cm} = 22000 x ($f_{cm}/10$)^{0.3} = 33642.8 N/ mm²;

Classe di esposizione XC4

Copriferro = 50 mm

Tolleranza di posa del copriferro = 10 mm

Condizioni ambientali: aggressive

Apertura fessure limite: w1 = 0.2 mm

• Elemento strutturale: pali

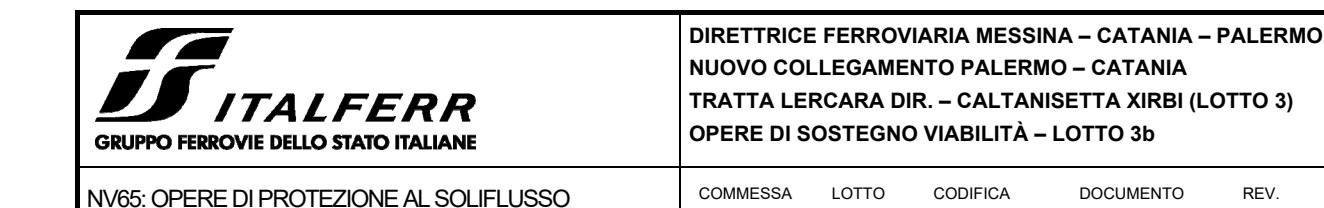
Classe di resistenza = C25/30;

 R_{ck} = resistenza cubica = 30 N/mm²;

f_{ck} = resistenza cilindrica caratteristica = 0.83 R_{ck} = 24.9 N/ mm²;

 f_{cm} = resistenza cilindrica media = f_{ck} + 8 = 32.9 N/ mm²;

 $f_{cd} = \alpha_{cc} f_{ck}/\gamma_c = 14.11 \text{N/mm}^2$;



 f_{ctm} = resistenza a trazione media = 0.30 x $f_{ck}^{2/3}$ = 2.56 N/ mm²;

f_{cfm} = resistenza a traz. per flessione media = 1.20 x f_{ctm} = 3.07 N/ mm²;

 f_{cfk} = resistenza a traz. per flessione carati. = 0.70 x f_{cfm} = 2.15 N/ mm²;

 E_{cm} = modulo elast. tra 0 e 0.40 f_{cm} = 22000 x ($f_{cm}/10$)^{0.3} = 31447.2 N/ mm²;

Classe di esposizione XC2

MU88F - RELAZIONE DI CALCOLO

Copriferro = 60 mm

Tolleranza di posa del copriferro = 10 mm;

Condizioni ambientali: normali

Apertura fessure limite: w1 = 0.2 mm

5.2 Acciaio in barre ad aderenza migliorata B450C

L'acciaio per cemento armato B450C è caratterizzato dai seguenti valori nominali delle tensioni caratteristiche di snervamento e rottura da utilizzare nei calcoli:

RS3T

30 D 78

CL

REV.

Α

MU 88 F 0 002

FOGLIO

8 di 39

| $f_{v \text{ nom}}$ | 450 N/mm ² |
|---------------------|-----------------------|
| f _{t nom} | 540 N/mm ² |

Tabella 5-1 Tensioni caratteristiche acciaio.

E deve rispettare i requisiti indicati nella seguente tabella:

| CARATTERISTICHE | REQUISITI | FRATTILE (%) |
|--|----------------------|--------------|
| Tensione caratteristica di snervamento f _{yk} | $\geq f_{ m y\ nom}$ | 5.0 |
| Tensione caratteristica di rottura f_{tk} | $\geq f_{ m t\ nom}$ | 5.0 |
| $(\mathbf{f}_{t}/\mathbf{f}_{y})_{\mathbf{k}}$ | ≥1,15 <1,35 | 10.0 |
| $(\mathrm{f_{v}}/\mathrm{f_{vnom}})_{\mathrm{k}}$ | ≤ 1,25 | 10.0 |
| Allungamento (Agt)k: | ≥ 7,5 % | 10.0 |
| Diametro del mandrino per prove di piegamento a 90 ° e successivo raddrizzamento senza cricche: • • 12 mm | 4φ | |
| 12≤ φ ≤ 16 mm | 5 ф | |
| per 16 < φ≤25 mm | 8 ф | |
| per 25 < φ ≤ 40 mm | 10 ф | |

Tabella 5-2 Requisiti acciaio.



REV.

Α

FOGLIO

9 di 39

NV65: OPERE DI PROTEZIONE AL SOLIFLUSSO MU88F - RELAZIONE DI CALCOLO
 COMMESSA
 LOTTO
 CODIFICA
 DOCUMENTO

 RS3T
 30 D 78
 CL
 MU 88 F 0 002

Inoltre si ha:

• $E_s = 210000 \text{ N/mm}^2$

• Sovrapposizioni barre ≥ 40φ

Resistenza di calcolo dell'acciaio per la verifica agli SLU (γ_s =1.15):

Resistenza di calcolo a rottura per trazione e deformazione corrispondente:

•
$$f_{yd} = f_{yk}/\gamma_s$$
 391.3 N/mm²

• $\epsilon_{yd} = f_{yd}/E_s$ 0.186%

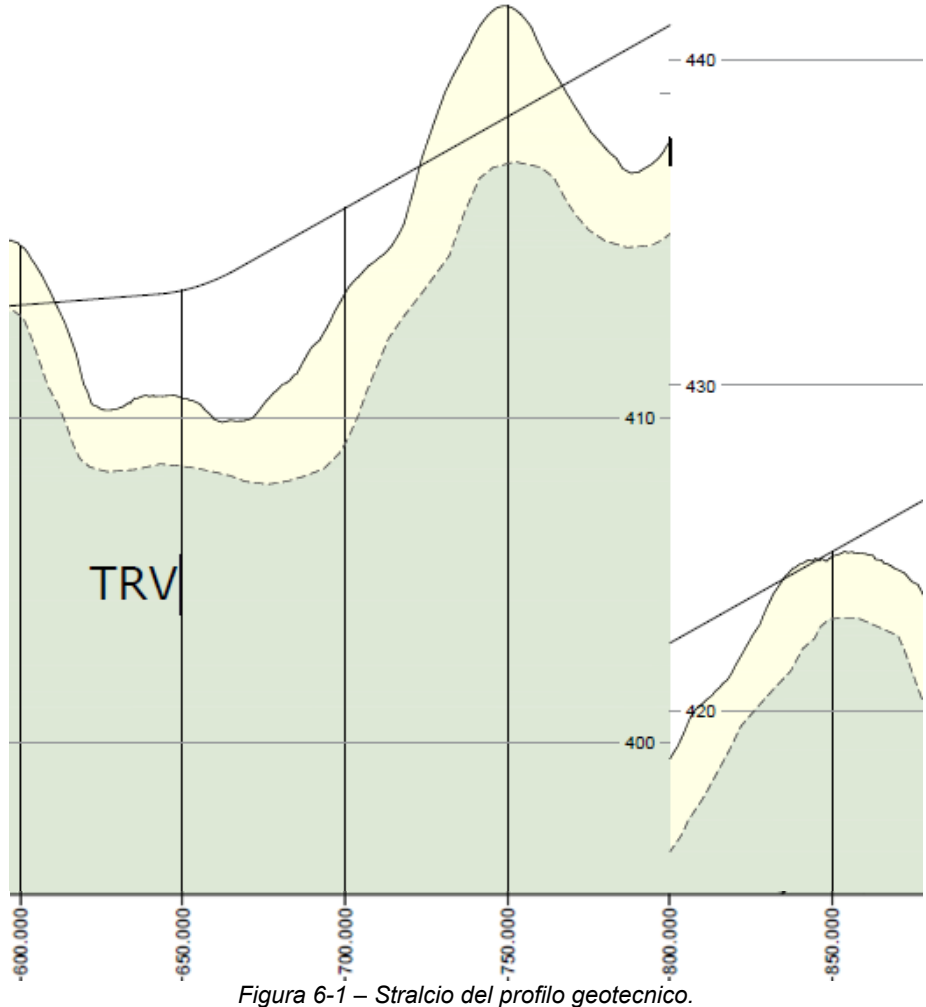


INQUADRAMENTO GEOTECNICO

Il modello geotecnico di calcolo è stato definito sulla base di quanto riportato nella relazione geotecnica alla quale si rimanda per qualsiasi approfondimento. Si riportano a seguire la stratigrafia e i parametri meccanici utilizzati nei calcoli (valori medi dell'intervallo di variabilità riportato nella relazione geotecnica).

| Unità litologiche da p.c. | da [m] | a [m] | γ [kN/m³] | c' _k [kPa] | φ' _k [°] |
|---------------------------|-----------|----------|--------------|--------------------------|------------------------|
| С | 0 | 3 | 19 | 3 | 20 |
| TRV | 3 | - | 21 | 22 | 22 |

Tabella 6-1 – Valori di calcolo dei parametri geotecnici del terreno





NV65: OPERE DI PROTEZIONE AL SOLIFLUSSO MU88F - RELAZIONE DI CALCOLO
 COMMESSA
 LOTTO
 CODIFICA
 DOCUMENTO
 REV.
 FOGLIO

 RS3T
 30 D 78
 CL
 MU 88 F 0 002
 A
 11 di 39

La falda è posta ad una profondità superiore a 20.0 m dal piano campagna.

7. VALUTAZIONE DELL'AZIONE SISMICA

7.1 Vita nominale

La vita nominale di un'opera strutturale V_N è intesa come il numero di anni nel quale la struttura, purché soggetta alla manutenzione ordinaria, deve potere essere usata per lo scopo al quale è destinata. Nel presente caso l'opera viene inserita nella seguente tipologia di costruzione:

2) Costruzioni con livelli di prestazioni ordinari;

La cui vita nominale è pari a: 75 anni.

7.2 Classe d'uso

In presenza di azioni sismiche, con riferimento alle conseguenze di un'interruzione di operatività o di un eventuale collasso, l'opera appartiene alla seguente classe d'uso:

Classe III: Costruzioni il cui uso preveda affollamenti significativi. Industrie con attività pericolose per l'ambiente. Reti viarie extraurbane non ricadenti in Classe d'uso IV. Ponti e reti ferroviarie la cui interruzione provochi situazioni di emergenza. Dighe rilevanti per le conseguenze dì un loro eventuale collasso.

Il coefficiente d'uso è pari a 1.50.

7.3 Periodo di riferimento

Le azioni sismiche su ciascuna costruzione vengono valutate in relazione al periodo di riferimento V_R ricavato, per ciascun tipo di costruzione, moltiplicandone la vita nominale V_N per il coefficiente d'uso C_u . Pertanto V_R = 75 x 1.5 = 112.5 anni.

7.4 Parametri sismici

Fissata la vita di riferimento V_R , i due parametri T_R e P_{VR} sono immediatamente esprimibili, l'uno in funzione dell'altro, mediante l'espressione:

$$T_R = -\frac{V_R}{\ln(1 - P_{VR})} = -\frac{C_{10}V_N}{\ln(1 - P_{VR})}$$



| Stati Limite | P_{V_R} : Probabilità di superamento nel periodo di riferimento V_R | | | |
|---------------------------|---|-----|--|--|
| Stati limite di esercizio | SLO | 81% | | |
| Stati limite di esercizio | SLD | 63% | | |
| Ctati limita viltimi | SLV | 10% | | |
| Stati limite ultimi | SLC | 5% | | |

Tabella 7-1 – Probabilità di superamento al variare dello stato limite considerato.

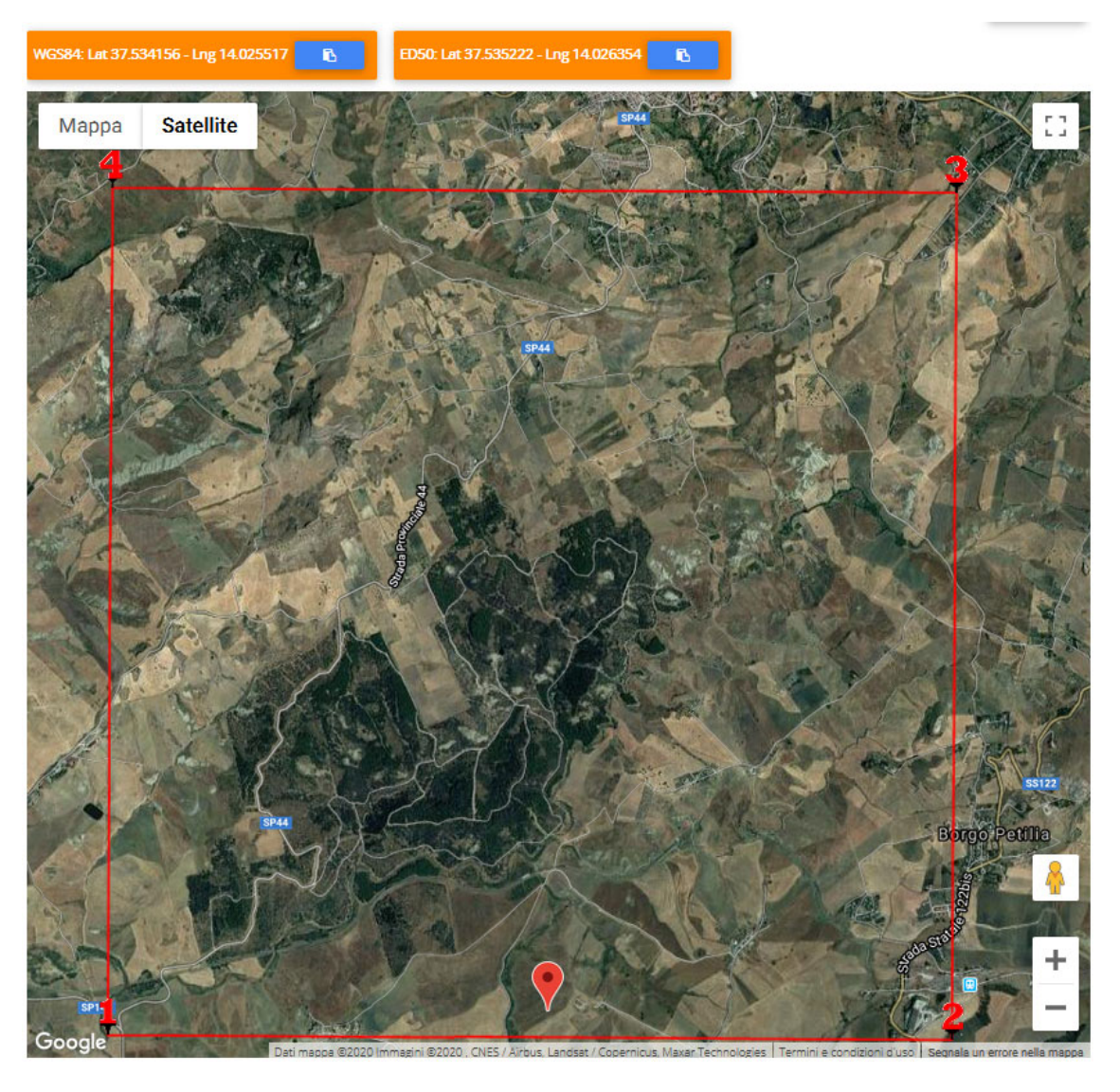


Figura 7-1 -Localizzazione del sito.



Da cui si ottiene la seguente tabella:



Tabella 7-2 – Parametri relativi all'azione sismica.

Ai fini della definizione dell'azione sismica di progetto, si rende necessario valutare l'effetto della risposta sismica locale. Per la definizione dell'azione sismica si può fare riferimento a un approccio semplificato, che si basa sull'individuazione delle categorie di sottosuolo di riferimento in accordo a quanto indicato nel § 3.2.2 delle NTC2018. I terreni di progetto possono essere caratterizzati come appartenenti a terreni di Categoria C. In condizioni topografiche superficiali semplici si può adottare la seguente classificazione.

| Categoria | Caratteristiche della superficie topografica | | | |
|-----------|---|--|--|--|
| T1 | Superficie pianeggiante, pendii e rilievi isolati con inclinazione media i ≤ 15° | | | |
| T2 | Pendii con inclinazione media i > 15° | | | |
| T3 | Rilievi con larghezza in cresta molto minore che alla base e inclinazione media $15^{\circ} \le i \le 30^{\circ}$ | | | |
| T4 | Rilievi con larghezza in cresta molto minore che alla base e inclinazione media i > 30° | | | |

Tabella 7-3 – Categorie topografiche.



L'area interessata risulta classificabile come T2.

In riferimento a quanto indicato nel §3.2.3.2.1 delle NTC2018 per la definizione dello spettro elastico in accelerazione è necessario valutare il valore del coefficiente $S = S_SS_T$ e di C_C in base alla categoria di sottosuolo e alle condizioni topografiche; si fa riferimento nella valutazione dei coefficienti alle tabelle di seguito riportate:

| Categoria sottosuolo | S _s | C _c |
|----------------------|---|--|
| A | 1,00 | 1,00 |
| В | $1,00 \le 1,40 - 0,40 \cdot F_o \cdot \frac{a_g}{g} \le 1,20$ | $1,10 \cdot (T_C^*)^{-0,20}$ |
| С | $1,00 \le 1,70 - 0,60 \cdot F_o \cdot \frac{a_g}{g} \le 1,50$ | $1,05 \cdot (T_C^*)^{-0,33}$ |
| D | $0.90 \le 2.40 - 1.50 \cdot F_o \cdot \frac{a_g}{g} \le 1.80$ | $1,25 \cdot (T_C^*)^{-0,50}$ |
| Е | $1,00 \le 2,00 - 1,10 \cdot F_o \cdot \frac{a_g}{g} \le 1,60$ | 1,15 · (T _C *) ^{-0,40} |

Tabella 7-4 – Espressioni di Ss e Cc.

| Categoria topografica | Categoria topografica Ubicazione dell'opera o dell'intervento | |
|-----------------------|---|-----|
| T1 - | | 1,0 |
| T2 | T2 In corrispondenza della sommità del pendio | |
| T3 | In corrispondenza della cresta di un rilievo con | 1,2 |
| | pendenza media minore o uguale a 30° | |
| T4 | In corrispondenza della cresta di un rilievo con | 1,4 |
| | pendenza media maggiore di 30° | |

Tabella 7-5 – Valori massimi dei coefficienti di amplificazione topografica S⊤.

Nel caso in esame quindi si ha:

| | Cat. Sottosuolo | | С | | ▼ |
|-------|-------------------------|------|------|------|------|
| | Cat. Topografica | | T2 | | * |
| | | SLO | SLD | SLV | SLC |
| SS Ar | nplificazione rafica | 1,50 | 1,50 | 1,50 | 1,50 |
| CC Cc | oeff. funz categoria | 1,59 | 1,53 | 1,36 | 1,31 |
| ST An | nplificazione rafica | 1,20 | 1,20 | 1,20 | 1,20 |



8. CRITERI DI VERIFICA PARATIE

8.1 Verifiche geotecniche SLU in condizioni statiche

Le verifiche delle paratie sono state condotte nei riguardi dei seguenti stati limite ultimi (SLU):

- collasso del complesso opera-terreno;
- instabilità globale dell'insieme terreno-opera;
- sfilamento di uno o più ancoraggi;
- raggiungimento della resistenza in uno o più ancoraggi,
- raggiungimento della resistenza degli elementi strutturali.

Per le strutture di sostegno flessibili si adotta l'Approccio Progettuale 1 con le due combinazioni di coefficienti parziali (tabelle 6.2.I, 6.2.II e 6.5.I del DM 17/01/2018):

- combinazione 1: A1 + M1 + R1
- combinazione 2: A2 + M2 + R1.

Il dimensionamento geotecnico dell'opera è stato condotto con la verifica di stati limite ultimi GEO, applicando la Combinazione 2 (A2+M2+R1); per le verifiche di stati limite ultimi STR l'analisi è stata invece condotta con la combinazione 1 (A1+M1+R1).

Al fine di rispettare le richieste della Normativa in merito al modello geometrico di riferimento (\$6.5.2.2 DM 17/01/2018) nel caso di opere in cui la funzione di sostegno è affidata alla resistenza del volume di terreno a valle dell'opera, la quota di valle è diminuita di:

$$\Delta h = min (0.5; 10\%\Delta t)$$

in cui Δt è la differenza di quota tra il livello inferiore di vincolo e il fondo scavo.

Per le verifiche di stabilità globale è stato applicato l'Approccio 1- Combinazione 2 (A2+M2+R2 – tab. 6.2.I, 6.2.II e 6.8.I del DM 17/01/2018).

Le verifiche sono state condotte mediante l'ausilio del codice di calcolo Paratie Plus.

8.2 Verifiche geotecniche SLV (condizioni sismiche)

Le verifiche in condizioni sismiche sono state condotte con riferimento allo stato limite ultimo di salvaguardia della vita (SLV), con riferimento alla configurazione finale dell'opera di sostegno. Per le verifiche in condizioni sismiche i coefficienti parziali sulle azioni e sui parametri geotecnici sono pari all'unità. Si adotta il metodo pseudostatico, calcolando il coefficiente sismico orizzontale secondo le prescrizioni della normativa (DM 17/01/2018):

$$k_h = \alpha \cdot \beta \cdot \left(\frac{a_{\text{max}}}{g}\right)$$



NV65: OPERE DI PROTEZIONE AL SOLIFLUSSO MU88F - RELAZIONE DI CALCOLO
 COMMESSA
 LOTTO
 CODIFICA
 DOCUMENTO
 REV.
 FOGLIO

 RS3T
 30 D 78
 CL
 MU 88 F 0 002
 A
 16 di 39

dove:

- a_{max} è l'accelerazione orizzontale massima attesa al sito,
- α è il coefficiente di deformabilità (Figura 7.11.2 del DM 17/01/2018);
- β è il coefficiente di spostamento (Figura 7.11.3 del DM 17/01/2018).

Per la definizione dell'azione sismica si rimanda al paragrafo 7.4. L'effetto del sisma sulle strutture di sostegno è ottenuto applicando un incremento di spinta (cfr § 7.11.6.3.1 del D.M. 17/01/2018 e § C7.11.6.3 della Circolare 7/19) del terreno valutato secondo la teoria di Mononobe-Okabe, agente direttamente sulla paratia secondo una distribuzione uniforme sull'intera altezza dell'opera.

$$\Delta S_E = \left[\frac{1}{2}\gamma \cdot H^2 \cdot (K_{\alpha E} - K_{\alpha})\right] / H,$$

dove: γ rappresenta il peso dell'unità di volume della formazione con la quale l'opera interagisce, γ rappresenta l'altezza totale dell'opera (comprensiva del tratto infisso), γ e γ rappresentano i coefficienti di spinta attiva in condizioni sismiche e statiche rispettivamente.

Per la valutazione della spinta passiva si assume α =1 (§7.11.6.3 del DM 17/01/2018). Il coefficiente sismico verticale, k_v, si assume pari a 0 (§7.11.6.3 del DM 17/01/2018).

I coefficienti di spinta attiva sono determinati attraverso la relazione di Mononobe (1929) e Okabe (1926). I coefficienti di spinta passiva sono determinati attraverso la relazione di Lancellotta (2007). L'angolo di attrito terreno/struttura, δ, si assume pari a 1/2 della resistenza al taglio del terreno naturale.

Le verifiche sono state condotte mediante l'ausilio del codice di calcolo PARATIE (Paratie Plus 2014.1).

8.2.1 Stabilità globale

In accordo con le indicazioni del DM 17/01/2018 § 6.8.2, le verifiche di sicurezza SLU sono state condotte secondo l'Approccio 1 - Combinazione 2 (A2+M2+R2), in cui A2 sono i coefficienti moltiplicativi delle azioni e M2 e R2 sono i coefficienti riduttivi dei parametri di resistenza dei materiali e della resistenza globale del sistema. Il rapporto tra R_d ed E_d dovrà risultare sempre maggiore o uguale a γ_R = 1.1 in condizioni statiche per assicurare che la verifica di sicurezza richiesta da normativa sia rispettata.

Per le verifiche sismiche si applicano gli stessi criteri ponendo pari all'unità i coefficienti parziali sulle azioni e sui parametri geotecnici (§7.11.1 e § 7.11.4 del DM 17/01/2018) e impiegando le resistenze di progetto calcolate con un coefficiente parziale pari a $\gamma_R = 1.2$. (§ 7.11.4 del DM 17/01/2018).

Per la valutazione della superficie di scorrimento critica (ed in generale di tutte le superfici di scorrimento) è stato utilizzato il metodo di Morgenstern & Price.

Ai fini della valutazione dell'azione sismica, nelle verifiche agli stati limite ultimi SLV, vengono considerate le seguenti forze statiche equivalenti:

$$F_h = k_h \cdot W$$
 ed $F_v = k_v \cdot W$



NV65: OPERE DI PROTEZIONE AL SOLIFLUSSO MU88F - RELAZIONE DI CALCOLO
 COMMESSA
 LOTTO
 CODIFICA
 DOCUMENTO
 REV.
 FOGLIO

 RS3T
 30 D 78
 CL
 MU 88 F 0 002
 A
 17 di 39

con k_h e k_v pari rispettivamente pari ai coefficienti sismici orizzontale e verticale:

 $k_h = \beta_s \cdot a_{max}/g e k_v = \pm 0.5 \cdot k_h$

in cui:

- β_s: coefficiente di riduzione dell'accelerazione massima attesa al sito;
- a_{max}: accelerazione orizzontale massima attesa al sito (cfr. §7.4).
- g: accelerazione di gravità.

_

9. ANALISI DEI CARICHI

Le azioni considerate per la verifica delle strutture di sostegno sono le seguenti:

- azioni permanenti: peso proprio degli elementi strutturali, spinta del terreno a monte e a valle dell'opera, carico fittizio simulante l'inclinazione del pendio a monte dell'opera opportunamente discretizzato in modo da simulare fedelmente il reale andamento del profilo topografico del pendio.
- azioni variabili: carico variabile sul piano campagna a monte della struttura di sostegno, Q_{1M}, atto a schematizzare nella fase costruttiva l'eventuale presenza di sovraccarichi di varia natura connessi alla realizzazione delle opere.
- azione sismica: l'accelerazione orizzontale massima attesa al suolo è definita nel paragrafo 7.4.



10. COMBINAZIONI DI CARICO

Le combinazioni di carico prese in considerazione nelle verifiche sono state definite in base a quanto prescritto dalle NTC-2018 al par.2.5.3:

- Combinazione fondamentale, generalmente impiegata per gli stati limite ultimi (SLIT): $\gamma_{G1} \cdot G_1 + \gamma_{G2} \cdot G_2 + \gamma_P \cdot P + \gamma_{Q1} \cdot Q_{k1} + \gamma_{Q2} \cdot \psi_{02} \cdot Q_{k2} + \gamma_{Q3} \cdot \psi_{03} \cdot Q_{k3} + \dots$ [2.5.1]
- Combinazione caratteristica, cosiddetta rara, generalmente impiegata per gli sta** limite di esercizio (SLE) irreversibili: $G_1 + G_2 + P + Q_{k1} + \psi_{02} \cdot Q_{k2} + \psi_{03} \cdot Q_{k3} + \dots$ [2.5.2]
- Combinazione frequente, generalmente impiegata per gli stati limite di esercizio reversibili: $G_1 + G_2 + P + \psi_{11} \cdot Q_{k1} + \psi_{22} \cdot Q_{k2} + \psi_{23} \cdot Q_{k3} + \dots$ [2.5.3]
- Combinazione quasi permanente (SLE), generalmente impiegata per gli effetti a καίβο termine:
 G₁ + G₂ + P + ψ₂₁ · Q_{k1} + ψ₂₂ · Q_{k2} + ψ₂₃ · Q_{k3} + ...
 [2.5.4]
- Combinazione sismica, impiegata per gli stati limite ultimi e di esercizio connessi all'azione sismica E: $E+G_1+G_2+P+\psi_{21}\cdot Q_{k1}+\psi_{22}\cdot Q_{k2}+\dots \hspace{1.5cm} [2.5.5]$
- Combinazione eccezionale, impiegata per gli stati limite ultimi connessi alle azioni eccezionali A: $G_1 + G_2 + P + A_d + \psi_{21} \cdot Q_{k1} + \psi_{22} \cdot Q_{k2} + \dots$ [2.5.6]

Gli effetti dell'azione sismica saranno valutati tenendo conto delle masse associate ai seguenti carichi gravitazionali:

$$G_1 + G_2 + \sum_i \psi_{2i} Q_{ki}$$
. [2.5.7]

Per le verifiche si deve tenere conto dei coefficienti parziali per le azioni, per i parametri geotecnici e per le resistenze.

| | Effetto | Coefficiente Parziale γ_F (o γ_E) | EQU | (A1) | (A2) |
|--|-------------|--|-----|------|------|
| Carichi permanenti G ₁ | Favorevole | γ_{G1} | 0,9 | 1,0 | 1,0 |
| | Sfavorevole | | 1,1 | 1,3 | 1,0 |
| Carichi permanenti G ₂ ⁽¹⁾ | Favorevole | γ_{G2} | 0,8 | 0,8 | 0,8 |
| | Sfavorevole | | 1,5 | 1,5 | 1,3 |
| Azioni variabili Q | Favorevole | Υ _{Qi} | 0,0 | 0,0 | 0,0 |
| | Sfavorevole | | 1,5 | 1,5 | 1,3 |

⁽i) Per i carichi permanenti G2 si applica quanto indicato alla Tabella 2.6.I. Per la spinta delle terre si fa riferimento ai coefficienti γ G1

Tabella 10-1 - Coefficienti parziali di sicurezza per le combinazioni di carico agli SLU.



NV65: OPERE DI PROTEZIONE AL SOLIFLUSSO MU88F - RELAZIONE DI CALCOLO

| COMMESSA | LOTTO | CODIFICA | DOCUMENTO | REV. | FOGLIO |
|----------|---------|----------|---------------|------|----------|
| RS3T | 30 D 78 | CL | MU 88 F 0 002 | Α | 19 di 39 |

| Parametro | Grandezza alla quale applicare il coefficiente parziale | Coefficiente parziale γ_{M} | (M1) | (M2) |
|---|--|------------------------------------|------|------|
| Tangente dell'angolo di resi- stenza al taglio | $	an {\phi'}_k$ | $\gamma_{\phi'}$ | 1,0 | 1,25 |
| Coesione efficace | c′ _k | γc | 1,0 | 1,25 |
| Resistenza non drenata | c_{uk} | $\gamma_{\rm cu}$ | 1,0 | 1,4 |
| Peso dell'unità di volume | γγ | γ_{γ} | 1,0 | 1,0 |

Tabella 10-2 - Coefficienti parziali per i parametri geotecnici del terreno.

| Verifica | Coefficiente parziale (R3) |
|------------------------------------|----------------------------------|
| Capacità portante della fondazione | $\gamma_R = 1.4$ |
| Scorrimento | $\gamma_R = 1.1$ |
| Ribaltamento | $\gamma_{R} = 1.15$ |
| Resistenza del terreno a valle | $\gamma_R = 1.4$ |

Tabella 10-3 – Coefficienti parziali γ_R per le verifiche agli stati limite ultimi dei muri di sostegno.

| COEFFICIENTE | R2 |
|--------------|-----|
| γ_R | 1,1 |

Tabella 10-4 – Coefficienti parziali per le verifiche di sicurezza SLU di opere di materiali sciolti e fronti di scavo.

Le combinazioni sismiche sono effettuate con ponendo però pari all'unità i coefficienti parziali sulle azioni e sui parametri geotecnici e impiegando le resistenze di progetto con gli opportuni coefficienti parziali γ_R .

| Verifica | Coefficiente parziale γR |
|--------------------------------|--------------------------|
| Carico limite | 1.2 |
| Scorrimento | 1.0 |
| Ribaltamento | 1.0 |
| Resistenza del terreno a valle | 1.2 |

Tabella 10-5 – Coefficienti parziali y_R per le verifiche agli stati limite (SLV) dei muri di sostegno.

| COEFFICIENTE | R2 |
|--------------|-----|
| γ R | 1.2 |

Tabella 10-6 – Coefficienti parziali per le verifiche di sicurezza SLV di opere di materiali sciolti e fronti di scavo.



11. PROGETTO E VERIFICA DELLA PARATIA

11.1 Dati di input

Sono di seguito descritti il modello e le principali caratteristiche dell'opera strutturale adottate nelle analisi di verifica.

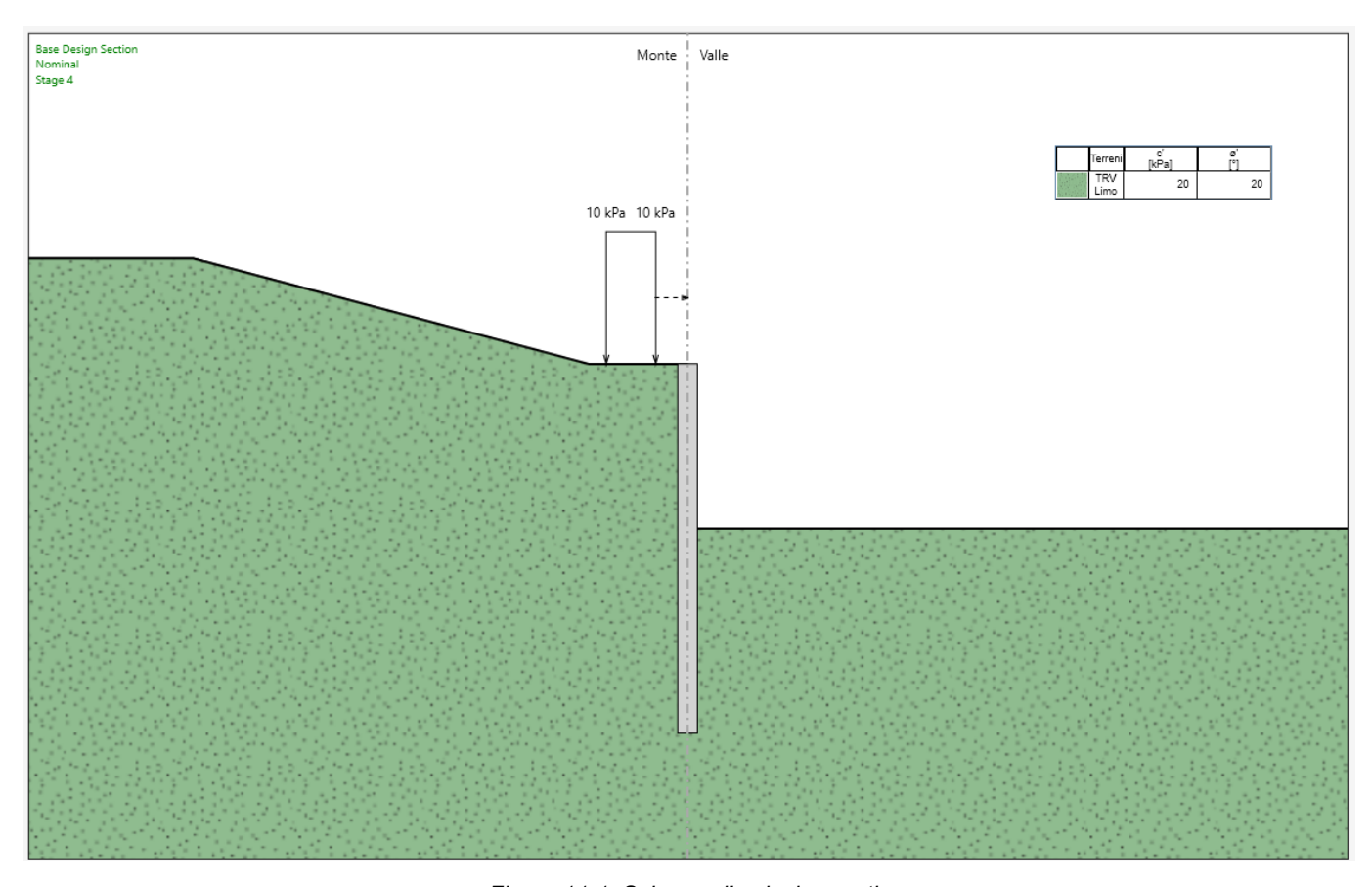


Figura 11-1. Schema di calcolo paratia



NV65: OPERE DI PROTEZIONE AL SOLIFLUSSO MU88F - RELAZIONE DI CALCOLO
 COMMESSA
 LOTTO
 CODIFICA
 DOCUMENTO
 REV.
 FOGLIO

 RS3T
 30 D 78
 CL
 MU 88 F 0 002
 A
 21 di 39

| pali φ600 ad interasse 0.80 m |
|---|
| H _{tot} = 11.20 m (1.20 m cordolo + 10.0 m palo) |
| H = 4.5 m |
| H₁ = 5 m |
| 12.0° |
| 0.0° |
| g = 0 kPa |
| g = 0 kPa |
| q = 10 kPa |
| q = 0 kPa |
| |

Tabella 11-1 - Caratteristiche geometriche della sezione di calcolo.

| U.G. | da | а | γ | c' | cu | φ' | E _{op} | ν |
|------|-----|-----|---------|-------|-------|-----|-----------------|-----|
| [-] | [m] | [m] | [kN/m³] | [kPa] | [kPa] | [°] | [MPa] | [-] |
| С | 0 | 2 | 19 | 3 | - | 20 | 15 | 0.3 |
| TRV | 2 | - | 21 | 22 | 150 | 22 | 160 | 0.3 |

Tabella 11-2 - Parametri geotecnici di calcolo

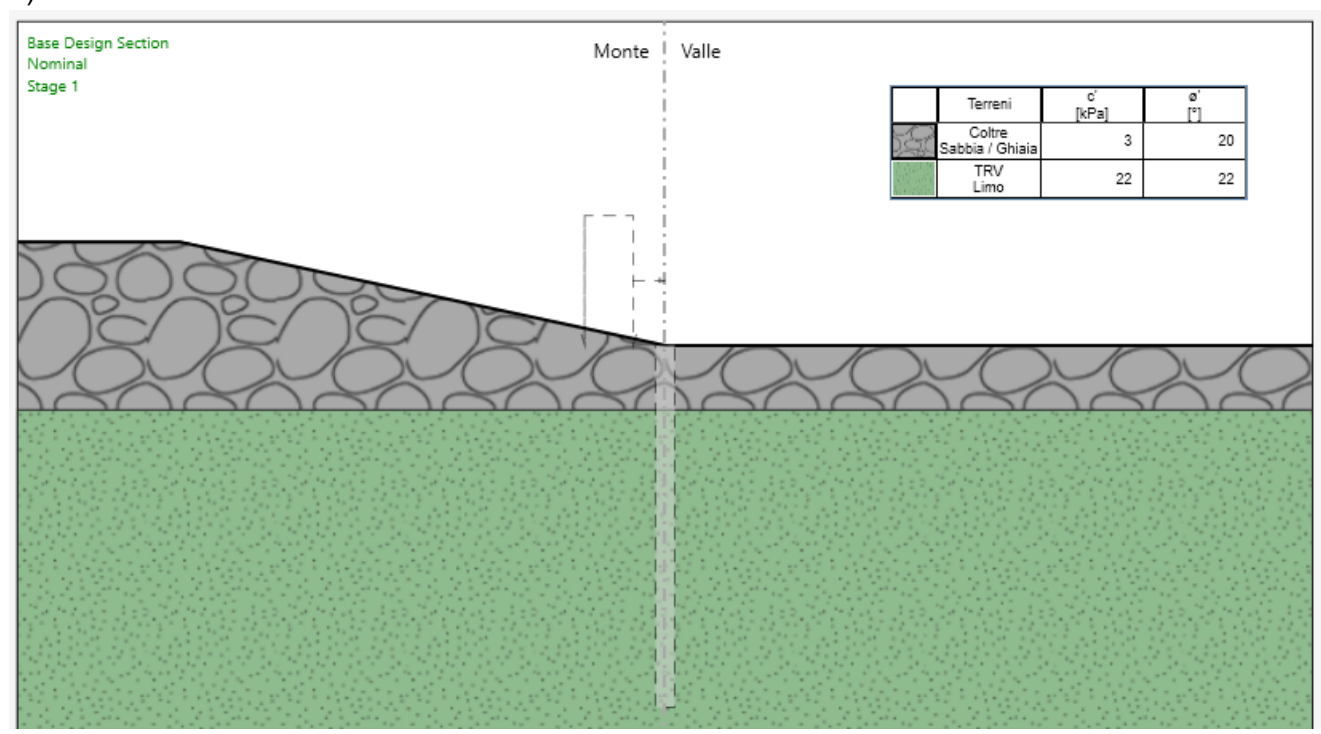
| U.G. | Condizione | Cat. sottosuolo | Cat. topografica | ag (g) | Ss | St | amax/g |
|------|------------|--------------------|----------------------|--------|-----|-----|--------|
| [-] | [-] | [-] | [kN/m ³] | [-] | [-] | [-] | [-] |
| TRV | SLV | С | T2 | 0.096 | 1.5 | 1.2 | 0.17 |

Tabella 11-3 - Parametri per l'analisi sismica

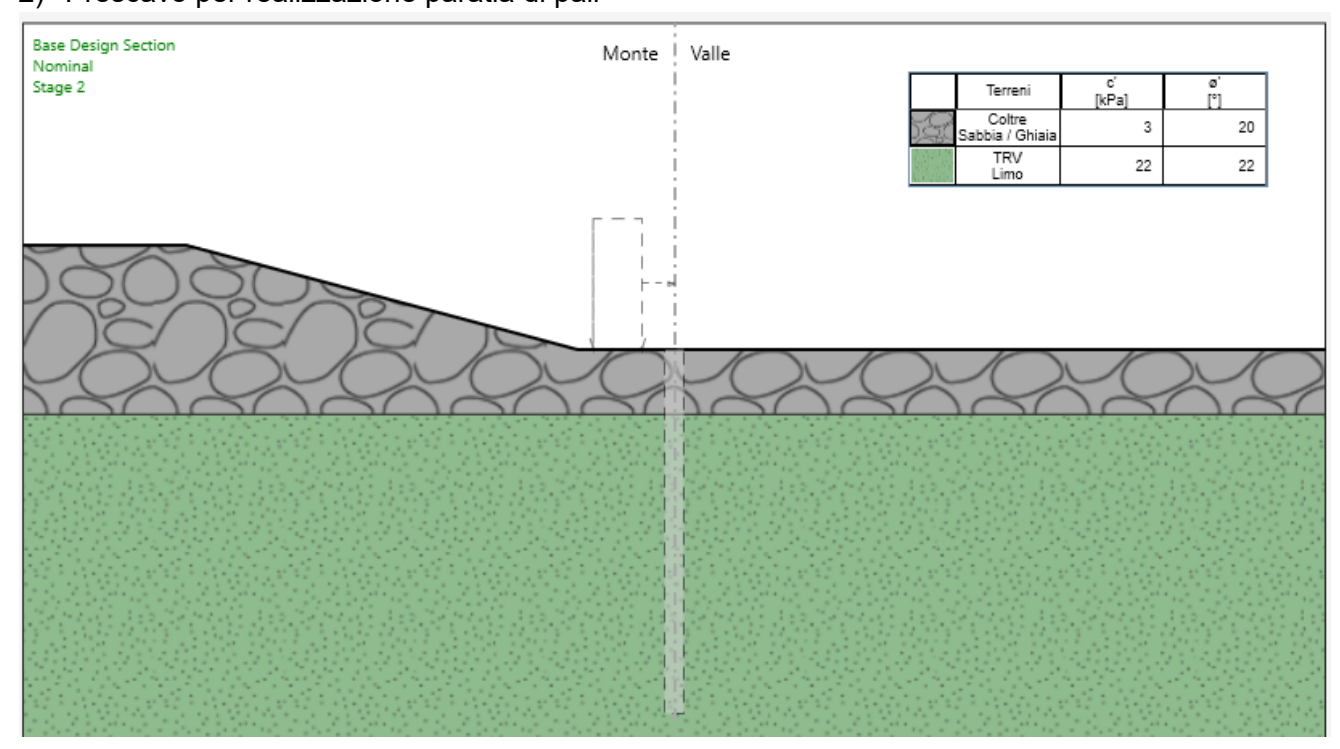


11.2 Fasi di calcolo

1) Geostatico

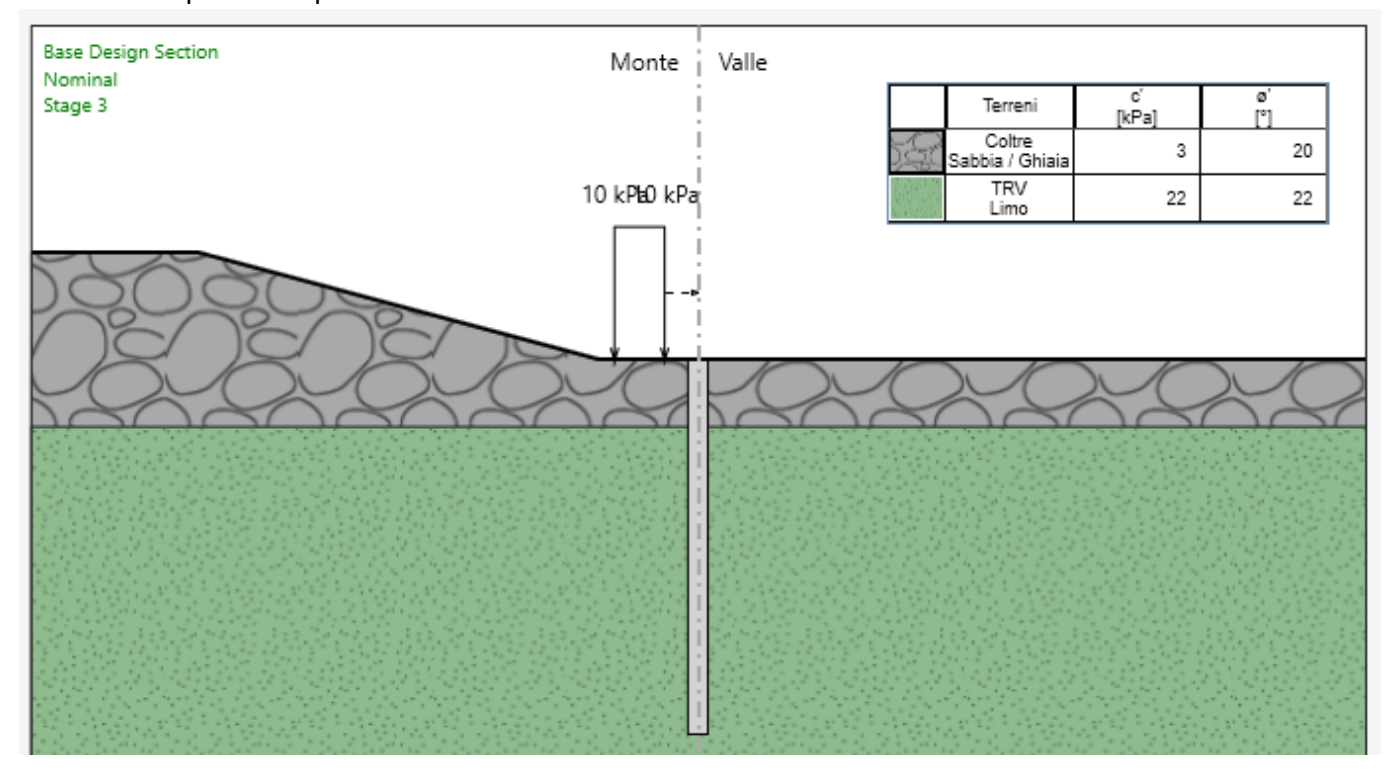


2) Prescavo per realizzazione paratia di pali

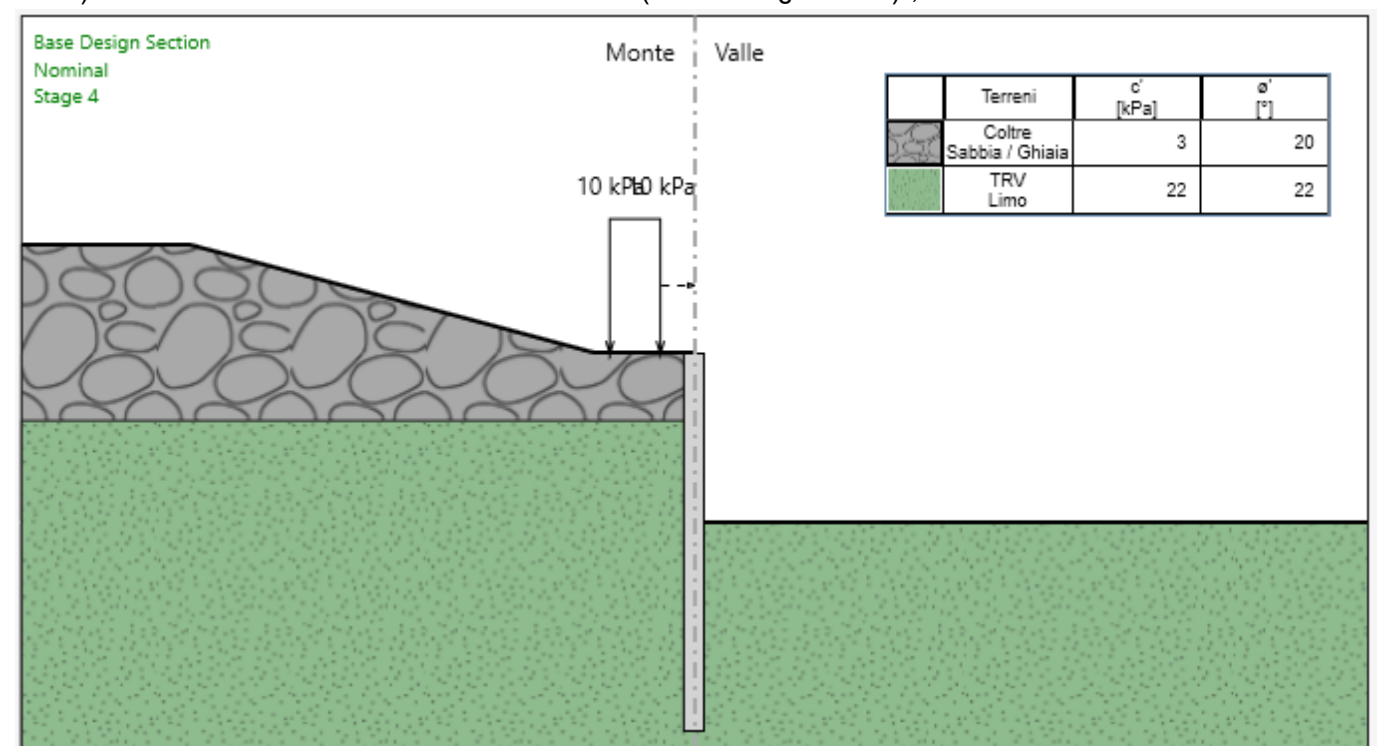




3) Applicazione del carico dovuto alla presenza dei macchinari di cantiere (10 kPa) e realizzazione della paratia di pali di diametro 600 mm e interasse 0.80 m

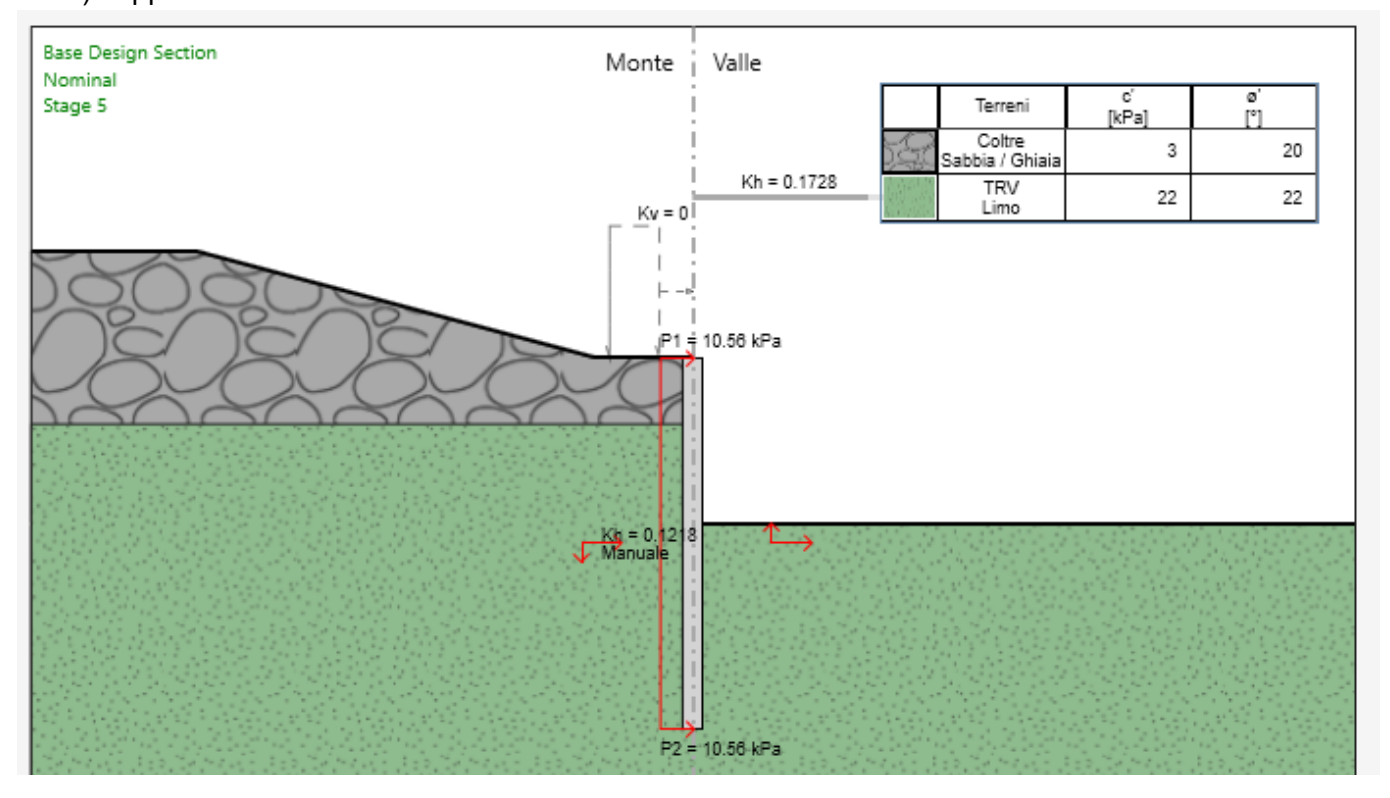


4) Scavo fino a "Altezza di scavo di calcolo (DM 2018 § 6.5.2.2)", di 5.00 m





5) Applicazione azione sismica



Applicando l'azione sismica al modello si ha:

 $U_S = 0.005 H_{scavo} = 0.025;$

 α è posto cautelativamente pari a 1;

 β è pari a 0.133 lm(5/U_S) = 0.7047.

| Definizione accelerazione - | |
|---|--|
| Coefficiente accel. base a _q / | 0.096 NTC |
| _ | |
| Fattore importanza I | 1 |
| Coefficiente Ss | 1.5 |
| Coefficiente S _T | 1.2 |
| a _{max} / g = | 0.1728 |
| 2. Accelerazione di calcolo | |
| Calcolo coefficiente di risp | oosta R |
| Input diretto | |
| O Da formule | |
| U _s | m T _C m/s |
| V _{max} | m/s > V _{max} /a _{max} > |
| R= | 1 > |
| NTC | |
| U _{s=} | 0.025 m |
| β= | 0.7047 |
| | |
| α= | 1 > |
| k _h = α β a _{max} | 0.1218 |



11.3 Risultati delle analisi

A seguire si riportano i diagrammi del momento flettente e del taglio ottenuti dalle analisi.

| | Sollecitazioni a metro lineare | | | Sollecitazioni sul singolo palo | | |
|-----|--------------------------------|-----|--------|---------------------------------|------|--|
| | M z (Mmax) | | Т | M | Т | |
| | (kNm/m) | (m) | (kN/m) | (kNm) | (kN) | |
| SLE | 46.4 | 5.4 | - | 37.1 | - | |
| SLU | 61.4 | 5.4 | 30.3 | 49.1 | 24.2 | |
| SLV | 230.0 | 6.2 | 90.7 | 184.0 | 72.6 | |

Tabella 11-4 – Riepilogo sollecitazioni.

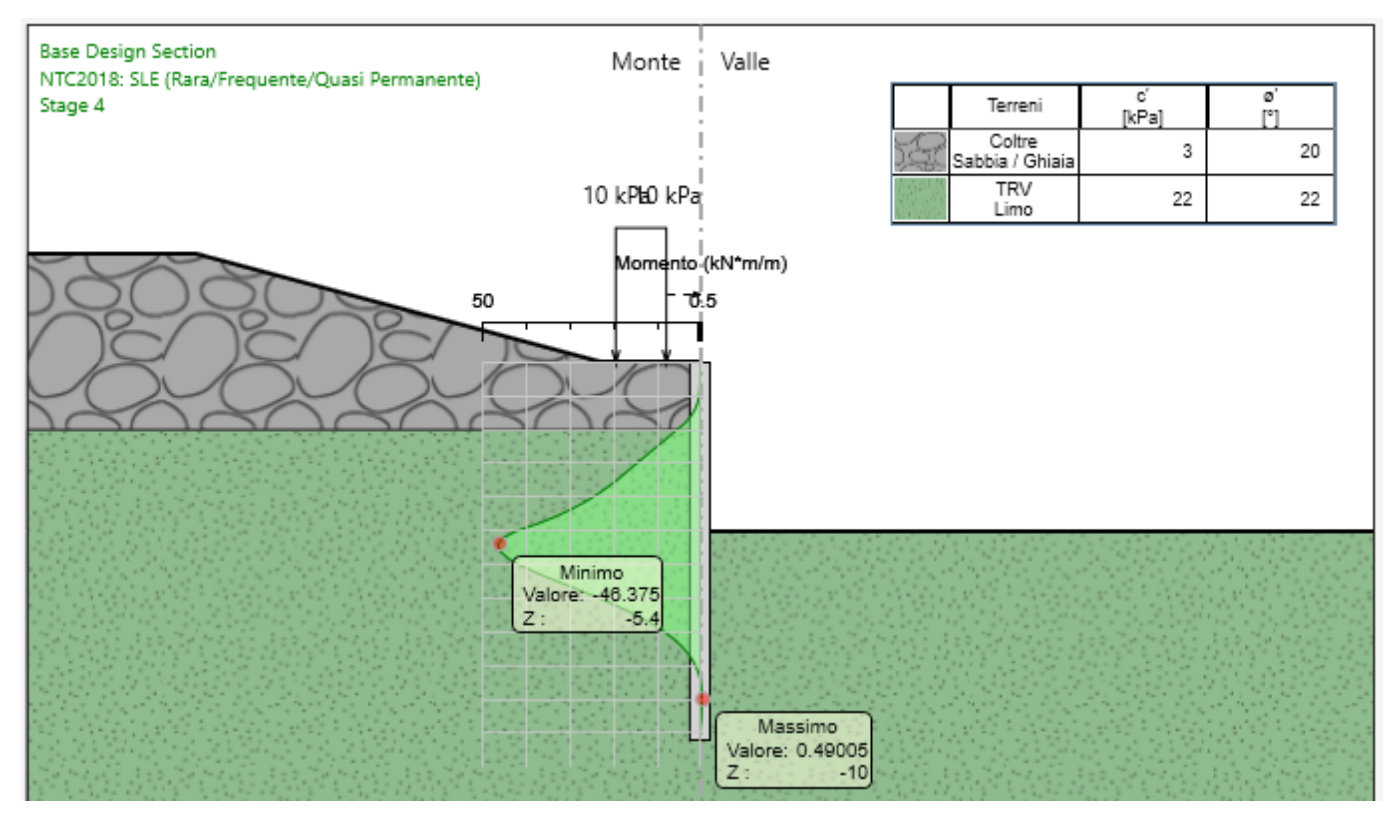


Figura 11-2 - Momento SLE.



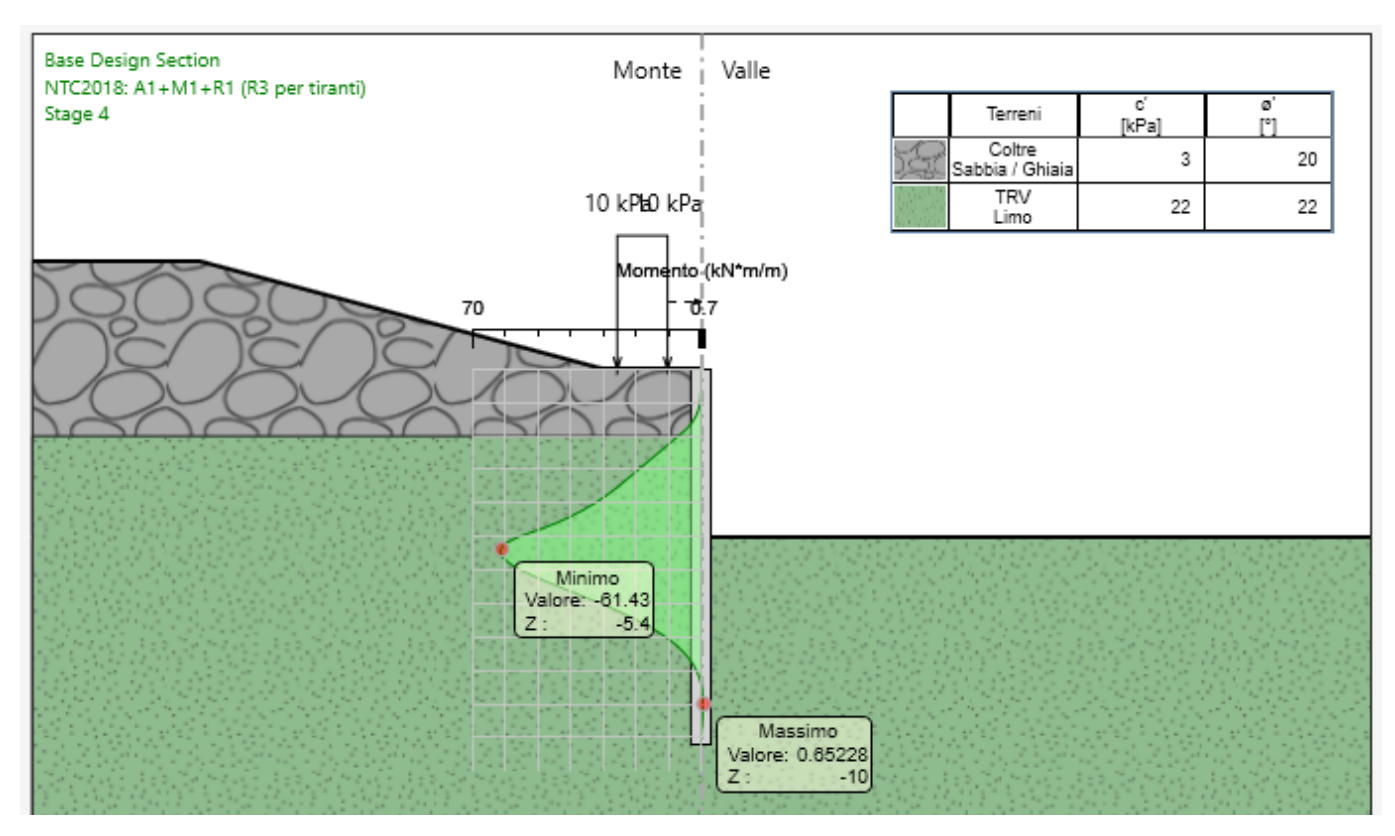


Figura 11-3 – Momento SLU.

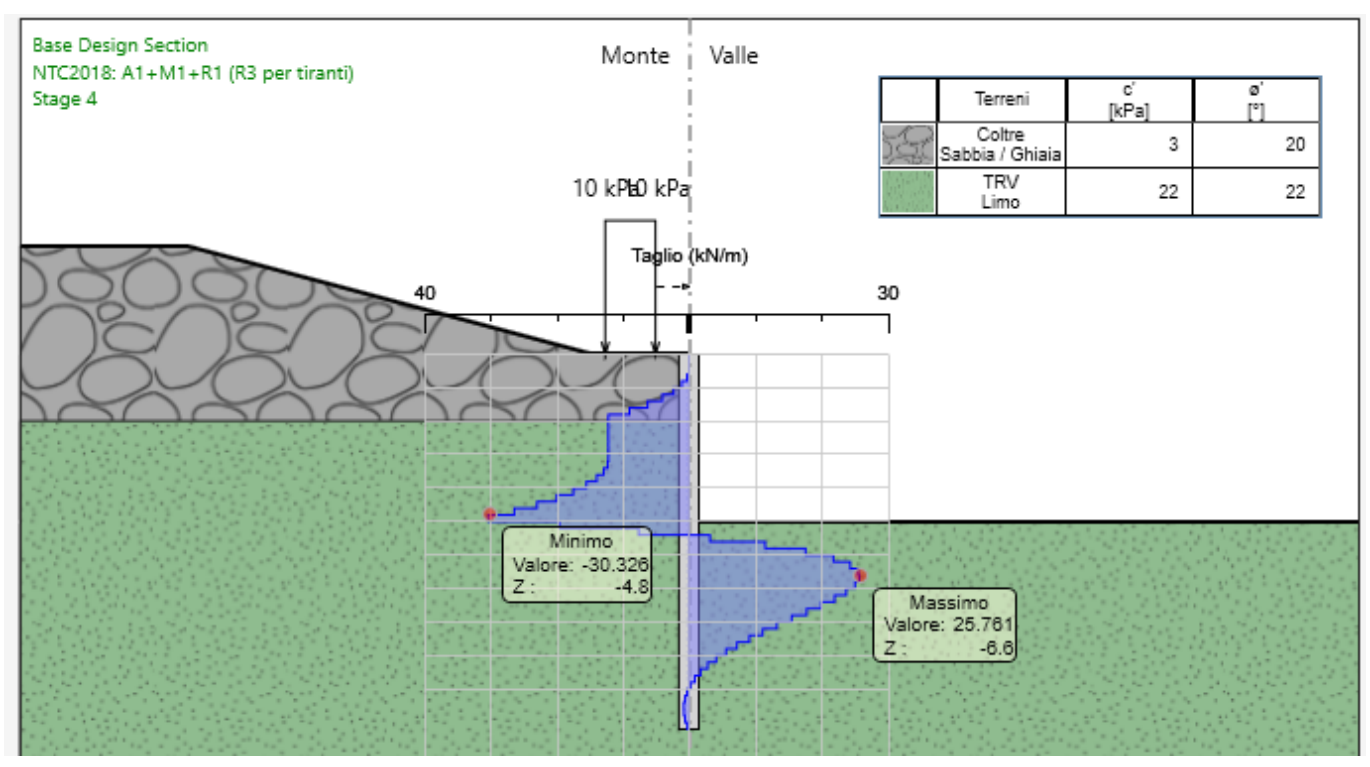


Figura 11-4 - Taglio SLU.



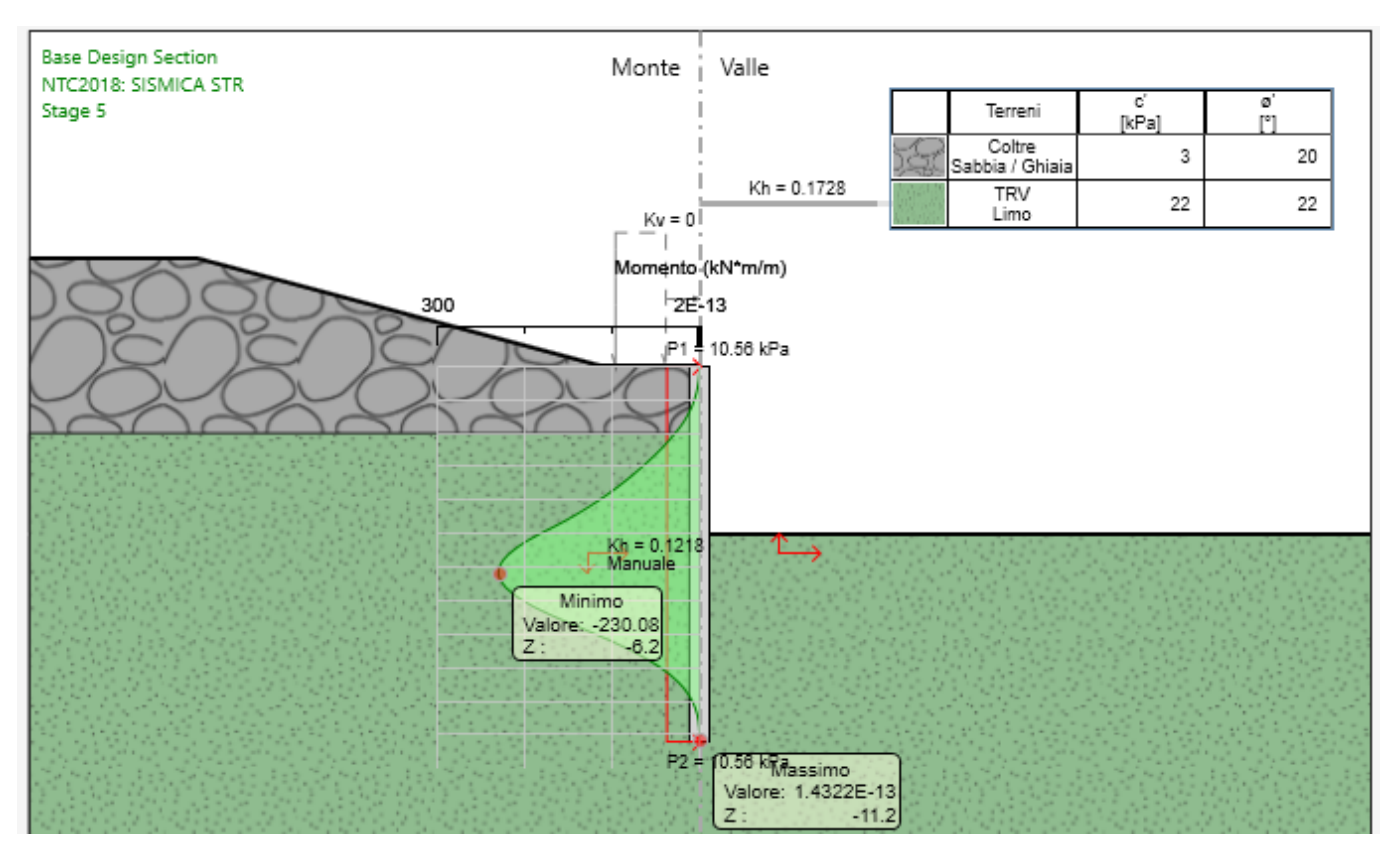


Figura 11-5 - Momento SLV.

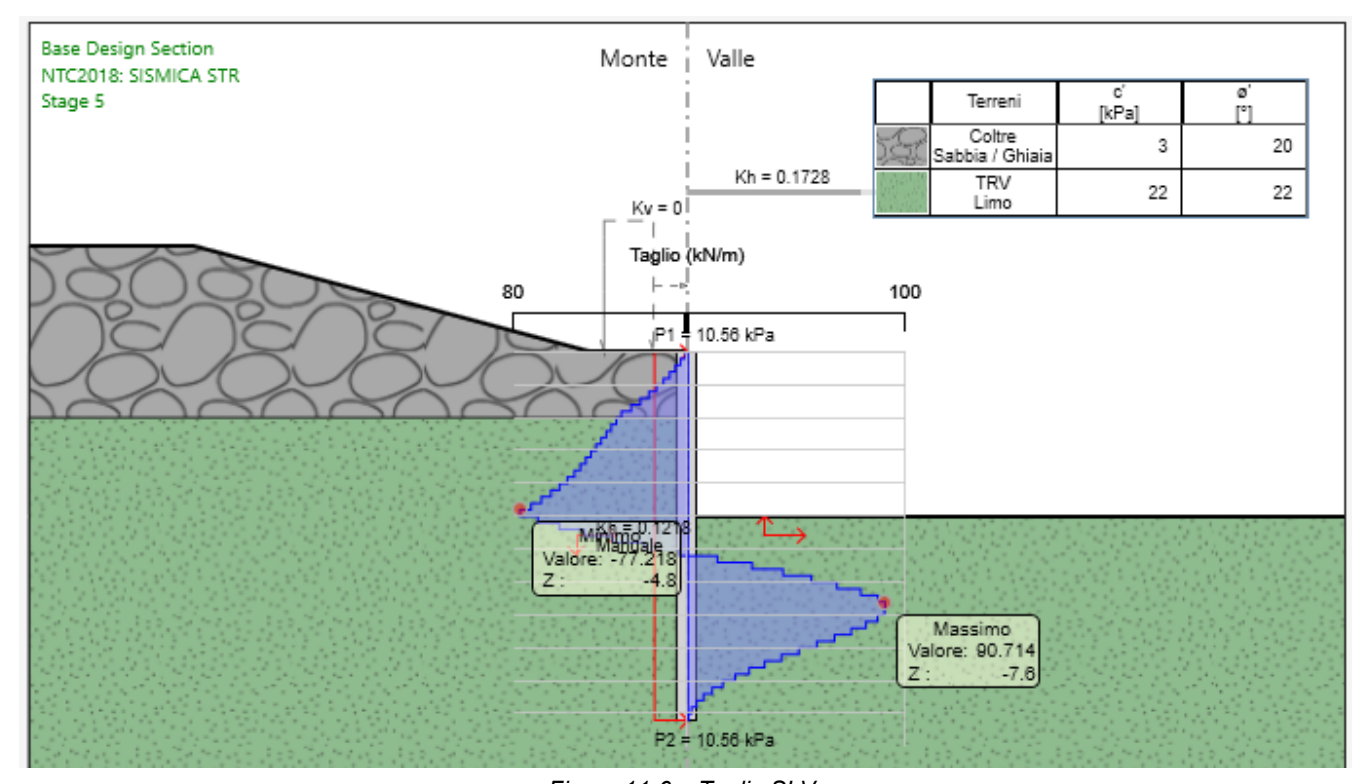


Figura 11-6 – Taglio SLV.



NV65: OPERE DI PROTEZIONE AL SOLIFLUSSO MU88F - RELAZIONE DI CALCOLO
 COMMESSA
 LOTTO
 CODIFICA
 DOCUMENTO
 REV.
 FOGLIO

 RS3T
 30 D 78
 CL
 MU 88 F 0 002
 A
 28 di 39

Summary for DA < NTC2018: A2+M2+R1>

| Parete | <i< td=""><td>eft</td><td>Wal</td><td>l></td></i<> | eft | Wal | l> |
|--------|---|-----|-----|----|

Max. Rapporto Spinte (Efficace/Passiva) (Lato SX) 0.21 D.A. NTC2018:

A2+M2+R1 (Stage 2)

Max. Rapporto Spinte (Efficace/Passiva) (Lato DX) 0.48 D.A. NTC2018:

A2+M2+R1 (Stage 4)

Summary for DA < NTC2018: SISMICA GEO>

Parete < Left Wall>

Max. Rapporto Spinte (Efficace/Passiva) (Lato SX) 0.17 D.A. NTC2018:

SISMICA GEO (Stage 2)

Max. Rapporto Spinte (Efficace/Passiva) (Lato DX) 0.47 D.A. NTC2018:

SISMICA GEO (Stage 5)

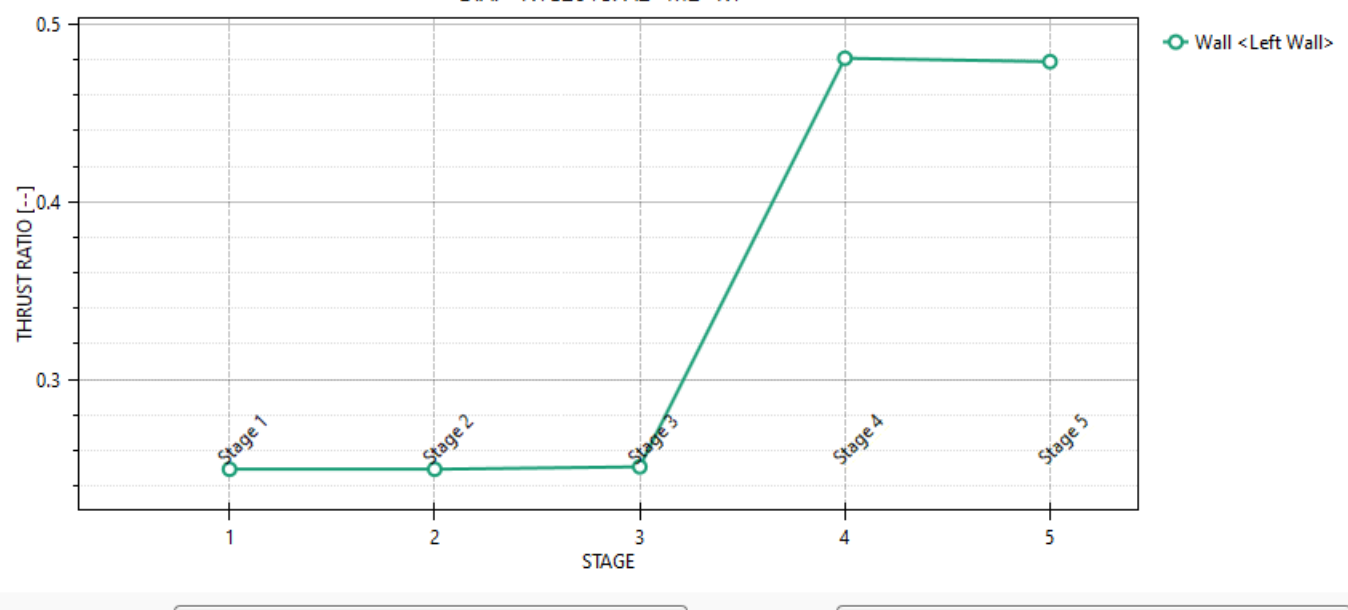


NV65: OPERE DI PROTEZIONE AL SOLIFLUSSO MU88F - RELAZIONE DI CALCOLO

COMMESSA LOTTO CODIFICA DOCUMENTO REV. FOGLIO RS3T 30 D 78 MU 88 F 0 002 29 di 39 CL Α

Massimi rapporti di mobilizzazione spinta passiva

D.A. < NTC2018: A2+M2+R1>



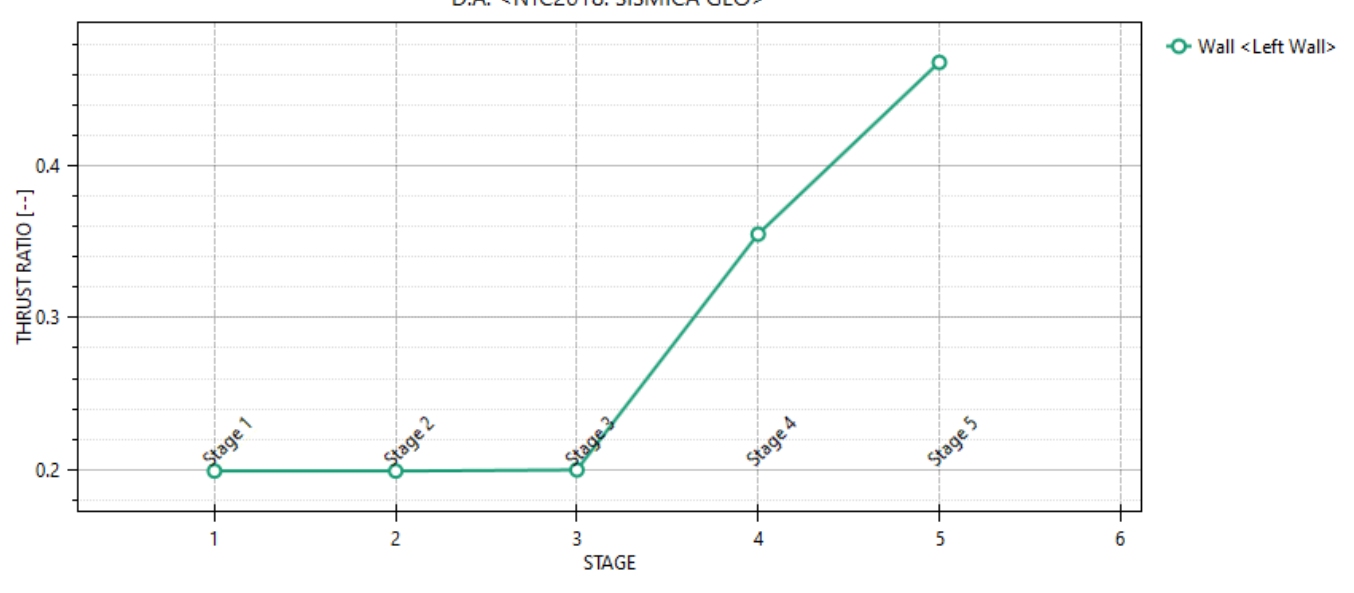
Design Assumption

NTC2018: A2+M2+R1

Scegli grafico Massimi rapporti di mobilizzazione spinta passiva

Massimi rapporti di mobilizzazione spinta passiva

D.A. <NTC2018: SISMICA GEO>



Design Assumption

NTC2018: SISMICA GEO

Scegli grafico

Massimi rapporti di mobilizzazione spinta passiva



11.4 Verifiche geotecniche

11.4.1 Verifiche SLE

Nell'immagine che segue si riporta lo spostamento della paratia in fase 4.

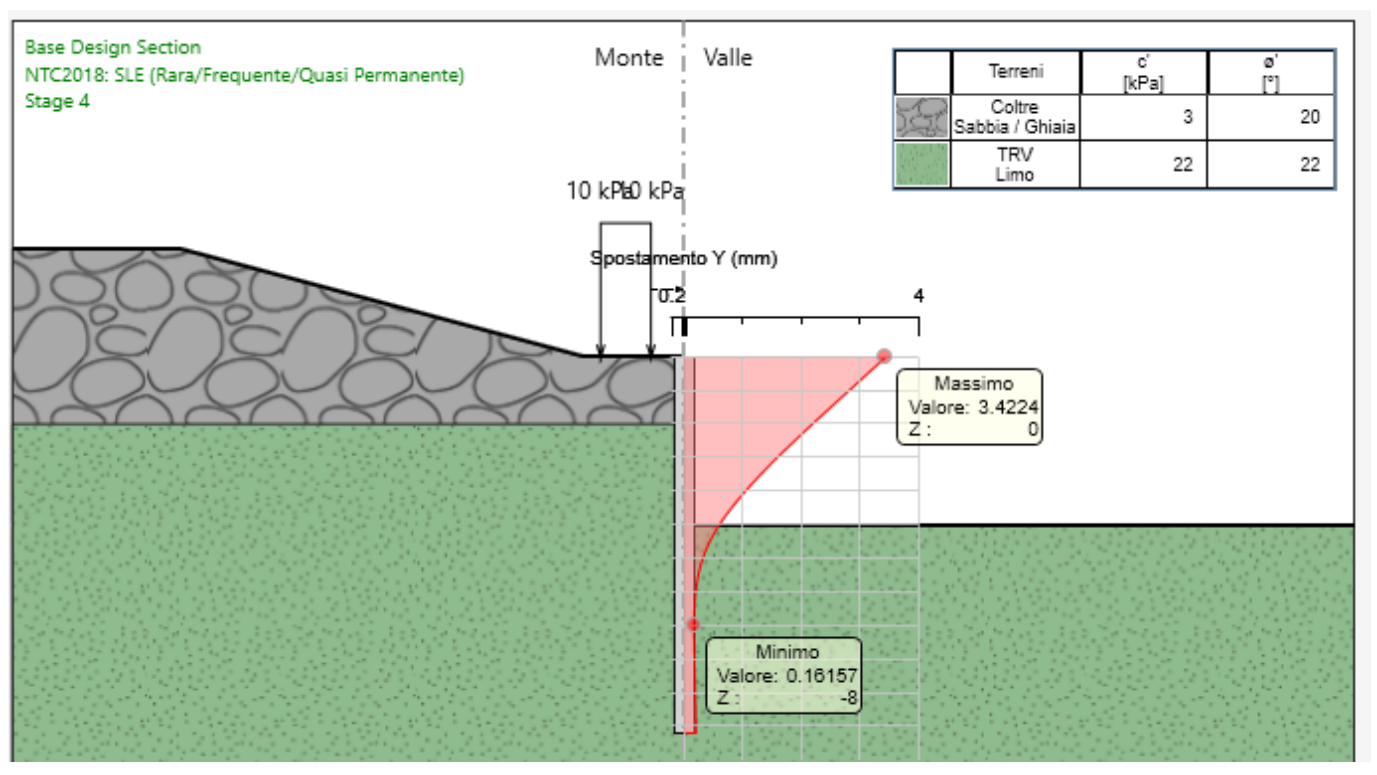


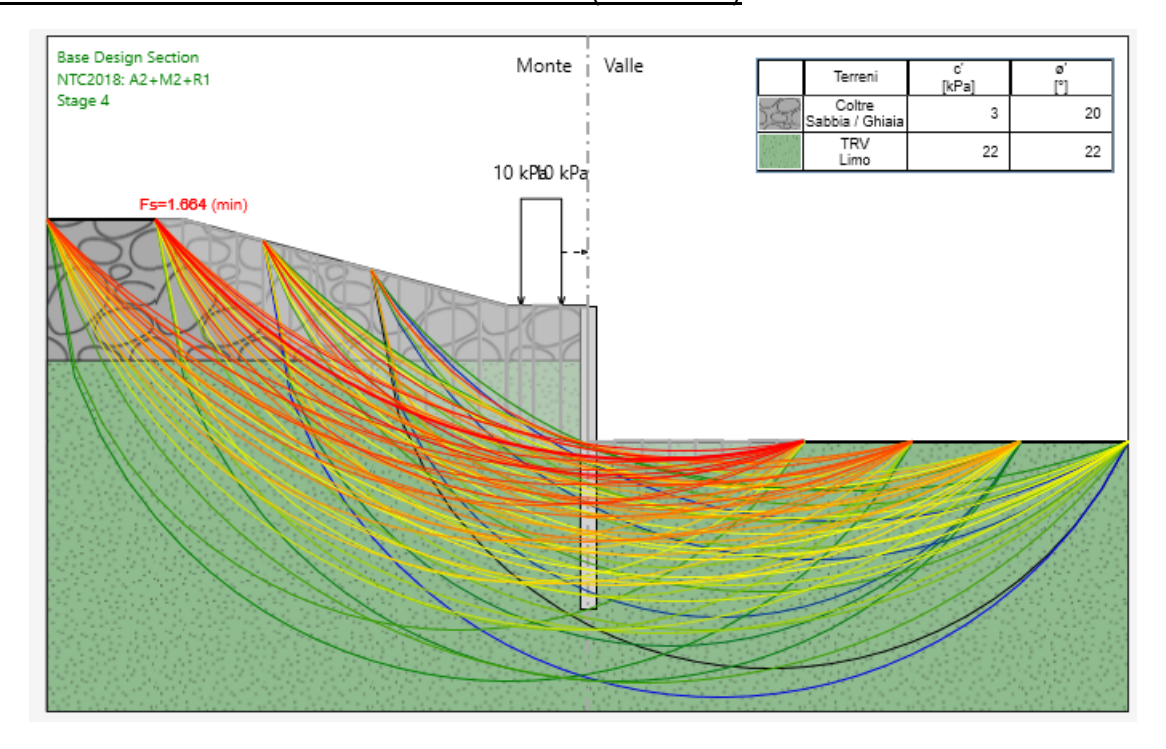
Figura 11-7 – Deformata dell'opera di sostegno nella configurazione di fondo scavo.

La deformata dell'opera rientra nei limiti progettuali stabiliti.

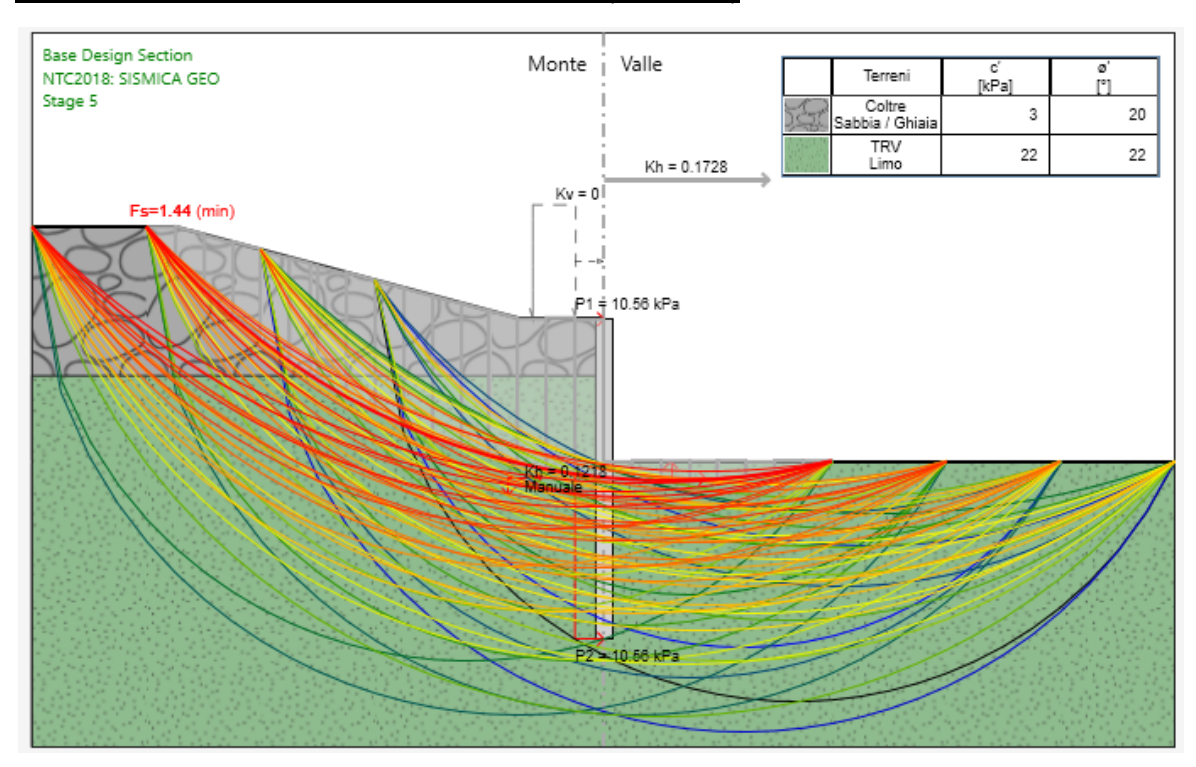


11.4.2 Verifica di stabilità globale

CONDIZIONI STATICHE: verifica soddisfatta (1.664>1.1)



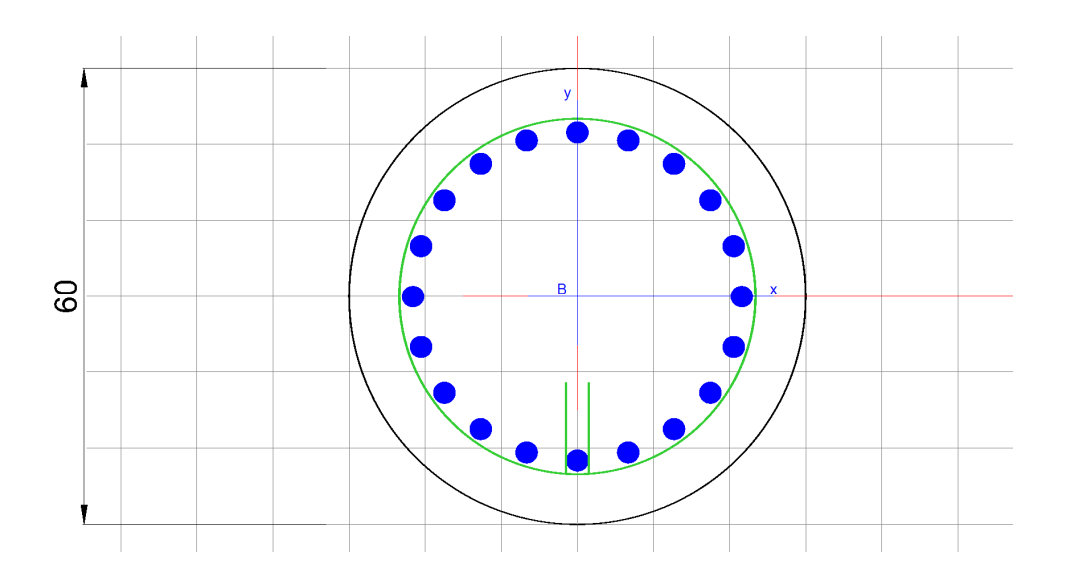
CONDIZIONI SISMICHE: verifica soddisfatta (1.44>1.2)





Verifiche strutturali

Per l'armatura della paratia di pali sono state impiegate 20 barre con diametro ϕ 24 mm e una spirale ϕ 12/15 cm.



Si riportano di seguito le verifiche a taglio e a flessione in condizioni statiche e sismiche.



11.4.3 Verifica a taglio – condizioni statiche

| VERIFICA A 1 | TAGLIO - SL | U | | | | |
|------------------------------------|-------------|-----------------|---------|-------|----|------------|
| | | | | | | |
| r | 400 | mm | | | | |
| С | 84 | mm | | | | |
| rs | 316 | mm | | | | |
| α | 0.53 | rad | | | | |
| Atot | 502655 | mm^2 | | | | |
| А | 405196 | mm ² | | | | |
| h | 745.8 | mm | Rck | 30 | | |
| d | 601.2 | mm | fck | 24.9 | | |
| bw | 674.0 | mm | γс | 1.5 | | |
| 1+(200/d)^0,5 | 1.577 | | | N.ro | | area_ferro |
| k | 1.577 | | As | 20 | ф | 24.0 |
| Asl | 9048 | mm^2 | | | | |
| Asl/(bw· d) | 0.022 | | | | | |
| ρ1 | 0.020 | | Vrd | 282.1 | kN | |
| vmin | 0.346 | | Ved | 24 | KN | |
| vmin∙bw∙d | 140118 | N | Vrd/Ved | 11.64 | - | |
| Vrd | 282074 | N | | | | |
| Non necessita di armatura a taglio | | | | | | |

11.4.4 Verifica a taglio – condizioni sismiche

| VERIFICA A TAGLIO - SLV | | | | | | |
|------------------------------------|--------|-----------------|---------|-------|----|------------|
| | | | | | | |
| r | 400 | mm | | | | |
| С | 84 | mm | | | | |
| rs | 316 | mm | | | | |
| α | 0.53 | rad | | | | |
| Atot | 502655 | mm ² | | | | |
| Α | 405196 | mm^2 | | | | |
| h | 745.8 | mm | Rck | 30 | | |
| d | 601.2 | mm | fck | 24.9 | | |
| bw | 674.0 | mm | γс | 1.5 | | |
| 1+(200/d)^0,5 | 1.577 | | | N.ro | | area_ferro |
| k | 1.577 | | As | 20 | ф | 24.0 |
| Asl | 9048 | mm^2 | | | | |
| Asl/(bw∙ d) | 0.022 | | | | | |
| ρ1 | 0.020 | | Vrd | 282.1 | kN | |
| vmin | 0.346 | | Ved | 73 | KN | |
| vmin∙bw∙d | 140118 | N | Vrd/Ved | 3.89 | - | |
| Vrd | 282074 | N | | | | |
| Non necessita di armatura a taglio | | | | | | |

La sezione analizzata non necessita armatura a taglio per entrambe le configurazioni (statica e sismica), tuttavia si prevede una spirale ϕ 12 passo 15 cm a favore di sicurezza.



DIRETTRICE FERROVIARIA MESSINA - CATANIA - PALERMO NUOVO COLLEGAMENTO PALERMO - CATANIA TRATTA LERCARA DIR. - CALTANISETTA XIRBI (LOTTO 3)

OPERE DI SOSTEGNO VIABILITÀ - LOTTO 3b

NV65: OPERE DI PROTEZIONE AL SOLIFLUSSO MU88F - RELAZIONE DI CALCOLO

COMMESSA LOTTO CODIFICA DOCUMENTO FOGLIO REV. RS3T 30 D 78 CL MU 88 F 0 002 Α 34 di 39

11.4.5 Verifiche a flessione - condizioni statiche

DATI GENERALI SEZIONE CIRCOLARE DI PALO IN C.A.

Descrizione Sezione:

Metodo di calcolo resistenza: Stati Limite Ultimi

Normativa di riferimento: N.T.C.

Tipologia sezione: Sezione predefinita di Palo

Forma della sezione: Circolare

Percorso sollecitazione: A Sforzo Norm, costante Condizioni Ambientali: Poco aggressive Assi x,y principali d'inerzia Riferimento Sforzi assegnati: Riferimento alla sismicità: Comb. non sismiche

CARATTERISTICHE DI RESISTENZA DEI MATERIALI IMPIEGATI

CALCESTRUZZO -C25/30 Classe:

Resistenza compress. di progetto fcd: MPa 14.16 Resistenza compress. ridotta fcd': 7.08 MPa Deform. unitaria max resistenza ec2: 0.0020 0.0035 Deformazione unitaria ultima ecu: Diagramma tensioni-deformaz.: Parabola-Rettangolo Modulo Elastico Normale Ec: 31475.0 MPa Resis. media a trazione fctm: 2.56 MPa Coeff.Omogen. S.L.E.: 15.00 Sc limite S.L.E. comb. Rare: 15.0 MPa Sc limite S.L.E. comb. Frequenti: 15.0 MPa Ap.Fessure limite S.L.E. comb. Frequenti: 0.400 mm Sc limite S.L.E. comb. Q.Permanenti: 11.3 MPa Ap.Fess.limite S.L.E. comb. Q.Perm.: 0.300 mm

ACCIAIO -Tipo: B450C

> Resist. caratt. a snervamento fyk: 450.0 MPa Resist. caratt. a rottura ftk: 450.0 MPa Resist. a snerv. di progetto fyd: 391.3 MPa Resist. ultima di progetto ftd: 391.3 MPa Deform. ultima di progetto Epu: 0.068 Modulo Elastico Ef: 200000.0 MPa Diagramma tensioni-deformaz.: Bilineare finito Coeff. Aderenza istant. ß1*ß2: 1.00 Coeff. Aderenza differito ß1*ß2: 0.50

> Comb.Rare - Sf Limite: 360.0 MPa

CARATTERISTICHE GEOMETRICHE ED ARMATURE SEZIONE

Diametro sezione: 60.0 Barre circonferenza: 20Ø24 (90.5 cm²) Coprif.(dal baric. barre): 8.4 cm

CALCOLO DI RESISTENZA - SFORZI PER OGNI COMBINAZIONE ASSEGNATA

Ν Sforzo normale [kN] applicato nel baricentro (posit. se di compress.) Mx Momento flettente [kNm] intorno all'asse x baric. della sezione con verso positivo se tale da comprimere il lembo sup, della sezione VY Taglio [kN] in direzione parallela all'asse Y del riferim. generale

MT Momento torcente [kN m]

N°Comb. Vy MT Ν Mx



NV65: OPERE DI PROTEZIONE AL SOLIFLUSSO MU88F - RELAZIONE DI CALCOLO
 COMMESSA
 LOTTO
 CODIFICA
 DOCUMENTO
 REV.
 FOGLIO

 RS3T
 30 D 78
 CL
 MU 88 F 0 002
 A
 35 di 39

1 0.00 49.10 24.20 0.00

COMB. RARE (S.L.E.) - SFORZI PER OGNI COMBINAZIONE ASSEGNATA

N Sforzo normale [kN] applicato nel baricentro (positivo se di compress.)

Mx Coppia [kNm] applicata all'asse x baricentrico (tra parentesi il Momento di fessurazione)

con verso positivo se tale da comprimere il lembo superiore della sezione

N°Comb. N Mx

1 0.00 37.10

COMB. FREQUENTI (S.L.E.) - SFORZI PER OGNI COMBINAZIONE ASSEGNATA

N Sforzo normale [kN] applicato nel baricentro (positivo se di compress.)

Mx Coppia [kNm] applicata all'asse x baricentrico (tra parentesi il Momento di fessurazione)

con verso positivo se tale da comprimere il lembo superiore della sezione

N°Comb. N Mx

1 0.00 37.10 (81.30)

COMB. QUASI PERMANENTI (S.L.E.) - SFORZI PER OGNI COMBINAZIONE ASSEGNATA

N Sforzo normale [kN] applicato nel baricentro (positivo se di compress.)

Mx Coppia [kNm] applicata all'asse x baricentrico (tra parentesi il Momento di fessurazione)

con verso positivo se tale da comprimere il lembo superiore della sezione

N°Comb. N Mx

1 0.00 37.10 (81.30)

RISULTATI DEL CALCOLO

Sezione verificata per tutte le combinazioni assegnate

Copriferro netto minimo barre longitudinali: 7.2 cm Interferro netto minimo barre longitudinali: 4.4 cm

Interferro massimo barre longitudinali: 0.0 cm [deve essere < 0.0]

Copriferro netto minimo staffe: 6.0 cm

VERIFICHE DI RESISTENZA IN PRESSO-TENSO FLESSIONE ALLO STATO LIMITE ULTIMO

Ver S = combinazione verificata / N = combin. non verificata

N Sforzo normale baricentrico assegnato [kN] (positivo se di compressione)
Mx Momento flettente assegnato [kNm] riferito all'asse x baricentrico

N Ult Sforzo normale alla massima resistenza [kN] nella sezione (positivo se di compress.)

Mx rd Momento resistente ultimo [kNm] riferito all'asse x baricentrico Mis.Sic. Misura sicurezza = rapporto vettoriale tra (N rd,Mx rd) e (N,Mx)

Verifica positiva se tale rapporto risulta >=1.000

Yn Ordinata [cm] dell'asse neutro alla massima resistenza nel sistema di rif. X,Y,O sez.

As Tot. Area complessiva armature long. pilastro [cm²]. (tra parentesi l'area minima di normativa)

N°Comb Ver Ν Mx N_{rd} Mx rd Mis.Sic. Yn x/d C.Rid. As Tot. 1 S 0.00 49.10 -0.09 599.66 12.213 8.5 90.5 (8.5)

DEFORMAZIONI UNITARIE ALLO STATO LIMITE ULTIMO

ec max Deform. unit. massima del calcestruzzo a compressione



NV65: OPERE DI PROTEZIONE AL SOLIFLUSSO MU88F - RELAZIONE DI CALCOLO
 COMMESSA
 LOTTO
 CODIFICA
 DOCUMENTO
 REV.
 FOGLIO

 RS3T
 30 D 78
 CL
 MU 88 F 0 002
 A
 36 di 39

Yc max Ordinata in cm della fibra corrisp. a ec max (sistema rif. X,Y,O sez.)

es min Deform. unit. minima nell'acciaio (negativa se di trazione)

Ys min
ordinata in cm della barra corrisp. a es min (sistema rif. X,Y,O sez.)
es max
Deform. unit. massima nell'acciaio (positiva se di compressione)
Ys max
Ordinata in cm della barra corrisp. a es max (sistema rif. X,Y,O sez.)

N°Comb ec max Yc max es min Ys min es max Ys max

1 0.00350 30.0 0.00214 21.6 -0.00488 -21.6

ARMATURE A TAGLIO E/O TORSIONE DI INVILUPPO PER LE COMBINAZIONI ASSEGNATE

Diametro staffe/legature: 12 mm

Passo staffe: 15.0 cm [Passo massimo di normativa = 25.0 cm]

N.Bracci staffe: 2

Area staffe/m: 15.1 cm²/m [Area Staffe Minima NTC = 2.3 cm²/m]

VERIFICHE A TAGLIO

Ver S = comb.verificata a taglio-tors./ N = comb. non verificata
Ved Taglio agente [kN] uguale al taglio Vy di comb. (sollecit. retta)
Vrd Taglio resistente [kN] in assenza di staffe [formula (4.1.23)NTC]

Vcd Taglio compressione resistente [kN] lato calcestruzzo [formula (4.1.28)NTC]
Vwd Taglio trazione resistente [kN] assorbito dalle staffe [formula (4.1.27)NTC]

bw|z Larghezza minima [cm] sezione misurata parallelam. all'asse neutro | Braccio coppia interna

Ctg Cotangente dell'angolo di inclinazione dei puntoni di calcestruzzo
Acw Coefficiente maggiorativo della resistenza a taglio per compressione
Ast Area staffe/metro strettamente necessaria per taglio e torsione [cm²/m]

 N°Comb
 Ver
 Ved
 Vcd
 Vwd
 bw| z
 Ctg
 Acw
 ASt

 1
 S
 24.20
 477.30
 535.31
 53.9| 36.3
 2.500
 1.000
 0.7

COMBINAZIONI RARE IN ESERCIZIO - VERIFICA MASSIME TENSIONI NORMALI

Ver S = combinazione verificata / N = combin. non verificata

Sc max

Massima tensione di compress.(+) nel conglom. in fase fessurata ([MPa]
Yc max

Ordinata in cm della fibra corrisp. a Sc max (sistema rif. X,Y,O)
Sc min
Minima tensione di compress.(+) nel conglom. in fase fessurata ([MPa]
Yc min

Ordinata in cm della fibra corrisp. a Sc min (sistema rif. X,Y,O)

Ss min Minima tensione di trazione (-) nell'acciaio [MPa]

Ys min Ordinata in cm della barra corrisp. a Ss min (sistema rif. X,Y,O)

Dw Eff. Spessore di calcestruzzo [cm] in zona tesa considerata aderente alle barre
Ac eff. Area di congl. [cm²] in zona tesa aderente alle barre (verifica fess.)
As eff. Area Barre tese di acciaio [cm²] ricadente nell'area efficace(verifica fess.)

N°Comb Ver Dw Eff. Sc max Yc min Ss min Ac Eff. As Eff. Yc max Sc min Ys min D barre S -30.0 0.00 30.0 -31.1 21.6 21.0 1277 1.67 40.7

COMBINAZIONI RARE IN ESERCIZIO - VERIFICA APERTURA FESSURE (NTC/EC2)

Ver Esito verifica

e1 Minima deformazione unitaria (trazione: segno -) nel calcestruzzo in sez. fessurata
e2 Massima deformazione unitaria (compress.: segno +) nel calcestruzzo in sez. fessurata
K2 = 0.5 per flessione; =(e1 + e2)/(2*e2)in trazione eccentrica per la (7.13)EC2 e la (C4.1.11)NTC

Kt fattore di durata del carico di cui alla (7.9) dell'EC2

e sm Deformazione media acciaio tra le fessure al netto di quella del cls. Tra parentesi il valore minimo = 0.6 Ss/Es

srm Distanza massima in mm tra le fessure

wk Apertura delle fessure in mm fornito dalla (7.8)EC2 e dalla (C4.1.7)NTC. Tra parentesi è indicato il valore limite.

M fess. Momento di prima fessurazione [kNm]

 $N^{\circ}Comb$ Ver e1 e2 e3 K2 Kt e sm srm wk M Fess.



DIRETTRICE FERROVIARIA MESSINA – CATANIA – PALERMO NUOVO COLLEGAMENTO PALERMO – CATANIA TRATTA LERCARA DIR. – CALTANISETTA XIRBI (LOTTO 3)

OPERE DI SOSTEGNO VIABILITÀ – LOTTO 3b

NV65: OPERE DI PROTEZIONE AL SOLIFLUSSO MU88F - RELAZIONE DI CALCOLO
 COMMESSA
 LOTTO
 CODIFICA
 DOCUMENTO
 REV.
 FOGLIO

 RS3T
 30 D 78
 CL
 MU 88 F 0 002
 A
 37 di 39

1 S -0.00020 0.00012 0.50 0.60 0.000093 (0.000093) 373 0.035 (990.00) 81.30

COMBINAZIONI FREQUENTI IN ESERCIZIO - VERIFICA MASSIME TENSIONI NORMALI

N°Comb Ver Sc max Yc max Sc min Yc min Ss min Ys min Dw Eff. Ac Eff. As Eff. D barre S -30.0 0.00 30.0 -31.1 21.0 1277 1 1.67 21.6 40.7

COMBINAZIONI FREQUENTI IN ESERCIZIO - VERIFICA APERTURA FESSURE (NTC/EC2)

N°Comb Ver e2 e3 K2 Kt wk M Fess. e1 e sm srm 1 S -0.00020 0.00012 0.50 0.60 0.000093 (0.000093) 0.035 (0.40) 81.30 373

COMBINAZIONI QUASI PERMANENTI IN ESERCIZIO - VERIFICA MASSIME TENSIONI NORMALI

Dw Fff. Ac Fff. As Eff. N°Comb Ver Sc max Yc max Sc min Yc min Ss min Ys min D harre S 1 -30.0 0.00 30.0 -31.1 21.6 21.0 1277 1.67 40.7

COMBINAZIONI QUASI PERMANENTI IN ESERCIZIO - VERIFICA APERTURA FESSURE (NTC/EC2)

N°Comb Ver e1 e2 e3 K2 Kt wk M Fess. e sm srm -0.00020 0.00012 0.000093 (0.000093) 1 S 0.50 0.40 373 0.035 (0.30) 81.30

11.4.6 Verifiche a flessione - condizioni sismiche

DATI GENERALI SEZIONE CIRCOLARE DI PALO IN C.A.

Descrizione Sezione:

Metodo di calcolo resistenza: Resistenze in campo sostanzialmente elastico

Normativa di riferimento: N.T.C.

Tipologia sezione: Sezione predefinita di Palo

Forma della sezione: Circolare

Percorso sollecitazione: A Sforzo Norm. costante Riferimento Sforzi assegnati: Assi x,y principali d'inerzia Riferimento alla sismicità: Comb. non sismiche

CARATTERISTICHE DI RESISTENZA DEI MATERIALI IMPIEGATI

CALCESTRUZZO -C25/30 Resistenza compress. di progetto fcd: 14.16 MPa Resistenza compress. ridotta fcd': 7.08 MPa Deform. unitaria max resistenza ec2: 0.0020 Deformazione unitaria ultima ecu: 0.0035 Diagramma tensioni-deformaz.: Parabola-Rettangolo Modulo Elastico Normale Ec: 31475.0 MPa Resis. media a trazione fctm: 2.56 MPa ACCIAIO -Tipo: B450C Resist. caratt. a snervamento fyk: 450.0 MPa Resist. caratt. a rottura ftk: 450.0 MPa Resist. a snerv. di progetto fyd: 391.3 MPa Resist. ultima di progetto ftd: 391.3 MPa Deform. ultima di progetto Epu: 0.068 Modulo Elastico Ef: 200000.0 MPa



NV65: OPERE DI PROTEZIONE AL SOLIFLUSSO MU88F - RELAZIONE DI CALCOLO

 COMMESSA
 LOTTO
 CODIFICA
 DOCUMENTO
 REV.
 FOGLIO

 RS3T
 30 D 78
 CL
 MU 88 F 0 002
 A
 38 di 39

Diagramma tensioni-deformaz.: Bilineare finito

CARATTERISTICHE GEOMETRICHE ED ARMATURE SEZIONE

Diametro sezione: 60.0 cm
Barre circonferenza: 20Ø24 (90.5 cm²)
Coprif.(dal baric. barre): 8.4 cm

CALCOLO DI RESISTENZA - SFORZI PER OGNI COMBINAZIONE ASSEGNATA

N Sforzo normale [kN] applicato nel baricentro (posit. se di compress.)

Mx Momento flettente [kNm] intorno all'asse x baric. della sezione
con verso positivo se tale da comprimere il lembo sup. della sezione
VY Taglio [kN] in direzione parallela all'asse Y del riferim. generale

MT Momento torcente [kN m]

N°Comb. N Mx Vy MT 1 0.00 184.00 72.60 0.00

RISULTATI DEL CALCOLO

Sezione verificata per tutte le combinazioni assegnate

Copriferro netto minimo barre longitudinali: 7.2 cm Interferro netto minimo barre longitudinali: 4.4 cm

Interferro massimo barre longitudinali: 0.0 cm [deve essere < 0.0]

Copriferro netto minimo staffe: 6.0 cm

VERIFICHE DI RESISTENZA IN PRESSO-TENSO FLESSIONE ALLO STATO LIMITE SOSTANZIALMENTE ELASTICO

Ver S = combinazione verificata / N = combin. non verificata

N Sforzo normale baricentrico assegnato [kN] (positivo se di compressione)
Mx Momento flettente assegnato [kNm] riferito all'asse x baricentrico

N Ult Sforzo normale alla massima resistenza [kN] nella sezione (positivo se di compress.)
Mx re Momento resistente sostanzialmente elastico [kNm] riferito all'asse x baricentrico

Mis.Sic. Misura sicurezza = rapporto vettoriale tra (N re,Mx re) e (N,Mx)

Verifica positiva se tale rapporto risulta >=1.000

Yn Ordinata [cm] dell'asse neutro alla massima resistenza nel sistema di rif. X,Y,O sez.

As Tot. Area complessiva armature long. pilastro [cm²] (tra parentesi l'area minima di normativa)

 N°Comb
 Ver
 N
 Mx
 N re
 Mx re
 Mis.Sic.
 Yn
 x/d
 C.Rid.
 As Tot.

 1
 S
 0.00
 184.00
 2.445
 6.2
 -- -- 90.5 (8.5)

DEFORMAZIONI UNITARIE ALLO STATO LIMITE SOSTANZIALMENTE ELASTICO

ec max Deform. unit. massima del calcestruzzo a compressione

Yc max Ordinata in cm della fibra corrisp. a ec max (sistema rif. X,Y,O sez.) es min Deform. unit. minima nell'acciaio (negativa se di trazione)

Ys min
ordinata in cm della barra corrisp. a es min (sistema rif. X,Y,O sez.)
es max
Deform. unit. massima nell'acciaio (positiva se di compressione)
Ys max
Ordinata in cm della barra corrisp. a es max (sistema rif. X,Y,O sez.)

 N°Comb
 ec max
 Yc max
 es min
 Ys min
 es max
 Ys max

 1
 0.00168
 30.0
 0.00109
 21.6
 -0.00196
 -21.6

ARMATURE A TAGLIO E/O TORSIONE DI INVILUPPO PER LE COMBINAZIONI ASSEGNATE



NV65: OPERE DI PROTEZIONE AL SOLIFLUSSO MU88F - RELAZIONE DI CALCOLO

COMMESSA LOTTO CODIFICA RS3T 30 D 78 CL

DOCUMENTO MU 88 F 0 002 REV. FOGLIO 39 di 39 Α

Diametro staffe/legature: 12 mm

Passo staffe: 15.0 [Passo massimo di normativa = 19.2 cm] cm

N.Bracci staffe: 2

Area staffe/m: [Area Staffe Minima NTC = 2.9 cm²/m] 15.1 cm²/m

VERIFICHE A TAGLIO

S = comb.verificata a taglio-tors./ N = comb. non verificata Taglio agente [kN] uguale al taglio Vy di comb. (sollecit. retta)
Taglio resistente [kN] in assenza di staffe [formula (4.1.23)NTC]
Taglio compressione resistente [kN] lato calcestruzzo [formula (4.1.28)NTC] Ved Vrd

Vcd Vwd Taglio trazione resistente [kN] assorbito dalle staffe [formula (4.1.27)NTC]

Larghezza minima [cm] sezione misurata parallelam. all'asse neutro | Braccio coppia interna Cotangente dell'angolo di inclinazione dei puntoni di calcestruzzo bw|z

Ctg Acw Coefficiente maggiorativo della resistenza a taglio per compressione Area staffe/metro strettamente necessaria per taglio e torsione [cm²/m] Ast

N°Comb ASt Ver Ved Vcd Vwd bw|z Ctg Acw 1 S 72.60 464.29 522.82 53.7| 35.4 2.500 1.000 2.1